

12/89

وزارة التعليم العالي

MINISTERE DE L'ENSEIGNEMENT SUPERIEUR

المدرسة الوطنية المتعددة الفتيات  
BIBLIOTHEQUE — المكتبة  
Ecole Nationale Polytechnique

ÉCOLE NATIONALE POLYTECHNIQUE

DEPARTEMENT **G**énie **E**léctrique

**PROJET DE FIN D'ETUDES**

**S U J E T**

**LOGICIEL D'AIDE A LA CONCEPTION**

**DE MODELES LINEAIRES**

**EN AUTOMATIQUE**

Proposé par :

Etudié par :

Dirigé par :

M. A. A.

M. A. A.

M. A. A.

PROMOTION : JUIN 1989



المدرسة الوطنية المتعددة التقنيات  
BIBLIOTHEQUE — المكتبة  
Ecole Nationale Polytechnique

١ ٢ ٣ ٤ ٥ ٦ ٧ ٨ ٩ ١٠ ١١ ١٢

*A nos familles*

## REMERCIEMENTS

*Nous remercions Mr GACI pour ses précieux conseils , Mr SARI pour son aide très précieuse , ainsi que tout le personnel de l'annexe du centre de calcul et tous ceux qui ont contribué à la réalisation de ce travail .*

# SOMMAIRE

## INTRODUCTION

<u>Chap I: CONCEPTION ASSISTEE PAR ORDINATEUR ETAT DE L'ART</u>	
I-1 Principes Généraux Sur La CAO	1
I-2 Systèmes De CAO	3
<u>Chap II: STRUCTURE DE PROGRAMMATION</u>	
II-1 Structure Du Logiciel	20
II-1-1 Menu Principal	21
II-1-2 Commandes Du Menu Principal	23
II-1-3 Bibliothèque Mathématique	26
II-1-4 Edition Des Résultats	27
II-2 Conclusion	28
<u>Chap III: TRAITEMENT AUTOMATIQUE</u>	
III-1 Analyse	29
III-2 Simulation	39
III-3 Synthèse	51
<u>Chap IV: EXEMPLES D'APPLICATION</u>	62
<b>CONCLUSION</b>	

المدرسة الوطنية المتعددة التقنيات  
BIBLIOTHEQUE — المكتبة  
Ecole Nationale Polytechnique

## INTRODUCTION

La contribution du logiciel au développement de l'informatique occupe une part de plus en plus importante. Loin de se spécialiser, les composants de toute nature tendent à acquérir leur spécificité par le recours au logiciel. De plus en plus des microprocesseurs et des mémoires, des micro-ordinateurs et des mini-ordinateurs sont utilisés pour assurer des fonctions antérieurement réalisées par des dispositifs matériels spécialisés. De plus, l'imbrication étroite de l'informatique, et des télécommunications, ainsi que la recherche d'une meilleure utilisation des éléments nombreux constituant un système informatique, conduisent à la réalisation de logiciels d'exploitation extrêmement complexes et volumineux, qui seuls peuvent apporter aux utilisateurs non techniciens une relative simplicité d'emploi et une adaptabilité indispensable à leurs besoins.

Pour réaliser ces logiciels, pouvoir les maintenir, les modifier et en conserver la pérennité pendant un terme suffisant pour en amortir les coûts de développement, toute une gamme d'outils logiciels et de méthodes d'emploi de ces outils sont développés.

Ainsi prend naissance une véritable ingénierie du logiciel appliquée par les constructeurs d'ordinateurs, les sociétés de service et de conseil en informatique ( SSCI ) et les grands utilisateurs.

Parallèlement à l'élaboration de logiciels destinés à une utilisation particulière et unique, il existe des logiciels de base ou d'application qui sont conçus ou réalisés en vue d'une utilisation répétée chez de nombreux utilisateurs.

Ces logiciels sont désignés sous le terme de produits programmes ou progiciels. leur commercialisation constitue un des volets de l'activité des industriels de l'informatique, construction et société de service.

Notre projet consiste donc à réaliser un logiciel qui permet à l'utilisateur de déterminer les lois de commande sachant que la période actuelle se caractérise par un retour au domaine temporel avec le développement de la théorie des variables d'état. Celle-ci est à l'origine de la théorie de la commande optimale par rapport à un critère de performance. Elle donne une description très générale des systèmes multidimensionnels, tout particulièrement des systèmes linéaires à fonctionnement permanent ou intermittent.

Nous avons divisé le travail en quatre chapitres dont le premier présente la conception assistée par ordinateur en automatique et quelques systèmes de CAO.

Le second chapitre est consacré à la présentation du logiciel en donnant les fonctions des commandes qui constituent ses menus.

Le troisième chapitre donnera l'étude automatique où l'utilisateur pourra faire la simulation, l'analyse et calculer la commande optimale.

Et le dernier apportera quelques exemples d'application.



CHAPITRE I

CONCEPTION ASSISTEE EN AUTOMATIQUE

ETAT DE L'ART

## I - 1 Principes généraux sur la CAO [ 1 ]

### a . Définition

La conception assistée par ordinateur est une technique dans laquelle l'homme et l'ordinateur sont rassemblés pour la solution des problèmes techniques. Le travail est organisé en équipe de telle sorte que chaque élément lui soit associée une tâche bien définie.

Une affectation a été proposée à la CAO, est que l'ordinateur a trois fonctions principales:

- servir le besoin de mémorisation du concepteur,
- amplifier le pouvoir d'analyse et de logique du concepteur,
- organiser l'information pendant et à la fin du processus de conception.

### b . Objectifs de la CAO

Les objectifs de la CAO sont nombreux, les plus importants sont:

- augmenter la créativité,
- améliorer la qualité des produits,
- réduire les délais et les coûts de conception,
- vaincre la complexité,
- pallier le manque de main d'oeuvre qualifiée,
- faciliter l'archivage et le manque de circulation de l'information.

### c . Mise en oeuvre d'un système de CAO

La structure d'un système de CAO est formée de trois parties:

- un ensemble modulaire d'équipement (unité centrale, unité de disques, processeurs, terminaux, ...),
- un système de base de donnée permettant le stockage et la gestion de l'information,
- une banque d'algorithmes comprenant des bibliothèques de programmes.

#### d . L'écriture des programmes d'un système de CAO

La mise en oeuvre des programmes d'un système de CAO doit traiter les questions suivantes:

- la définition des interfaces du dialogue homme machine,
- la définition des types de structure de donnée manipulable par l'ensemble des programmes de traitement et utilisateurs,
- la communication des données entre les programmes,
- la définition de la structure de données graphiques,
- la question d'optimisation des programmes.

#### e . Choix d'un système de CAO

Le choix d'un système de CAO depend des problèmes de conception à résoudre et des moyens disponibles.

#### f . La CAO en automatique

D'une manière générale, en automatique, on a pas d'objet physique à concevoir, mais schema de commande d'un processus physique. C'est ainsi qu'on parle de conception de commande assistée en automatique.

Le travail d'un automaticien se déroule en quatre phases pour tout schema de commade d'un processus:

1- Obtention de la représentation du système (le modèle) souvent complexe et non linéaire. Cette étape constitue la phase modélisation.

2- Obtention des propriétés du modèle par étude de simulation et des propriétés structurelles. C'est la phase analyse du modèle.

3- A partir des résultats obtenus des deux premières étapes, on détermine la structure et les lois de commande adéquates aux processus. C'est la phase synthèse du modèle.

4- La dernière phase est la mise en oeuvre du schéma de commande, c'est à dire, l'implémentation dans le processus physique.

Pour réaliser toutes ces phases, l'automaticien a besoin d'un outil informatique qui:

- le libère des tâches répétitives,
- lui permette d'utiliser les algorithmes complexes sans avoir à les programmer.

Donc l'élaboration de systèmes de CAO d'automatique nécessite des compétences en automatique, en informatique et en analyse numérique.

## I - 2 . Systèmes de CAO

Nous allons présenter quelques systèmes de CAO qui traitent des problèmes variés d'automatique.

**A- SIGA+ Conception assistée par ordinateur  
dans la commande des systèmes**

SIGA+ est un système interactif pour la CAO dans l'analyse la simulation et le contrôle technologique.

Il intègre beaucoup de programmes pour les calculs spécifiques associés aux grandes étapes de la méthodologie de commande des systèmes et utilise un langage de haut niveau spécifique à l'automatique.

Ainsi nous présentons la version améliorée du SIGA+ qui traite particulièrement la commande des systèmes linéaires décrits dans le domaine fréquentiel ou le domaine temporel.

La figure 1 décrit les grandes étapes de la méthodologie de conception du modèle assistée en automatique.

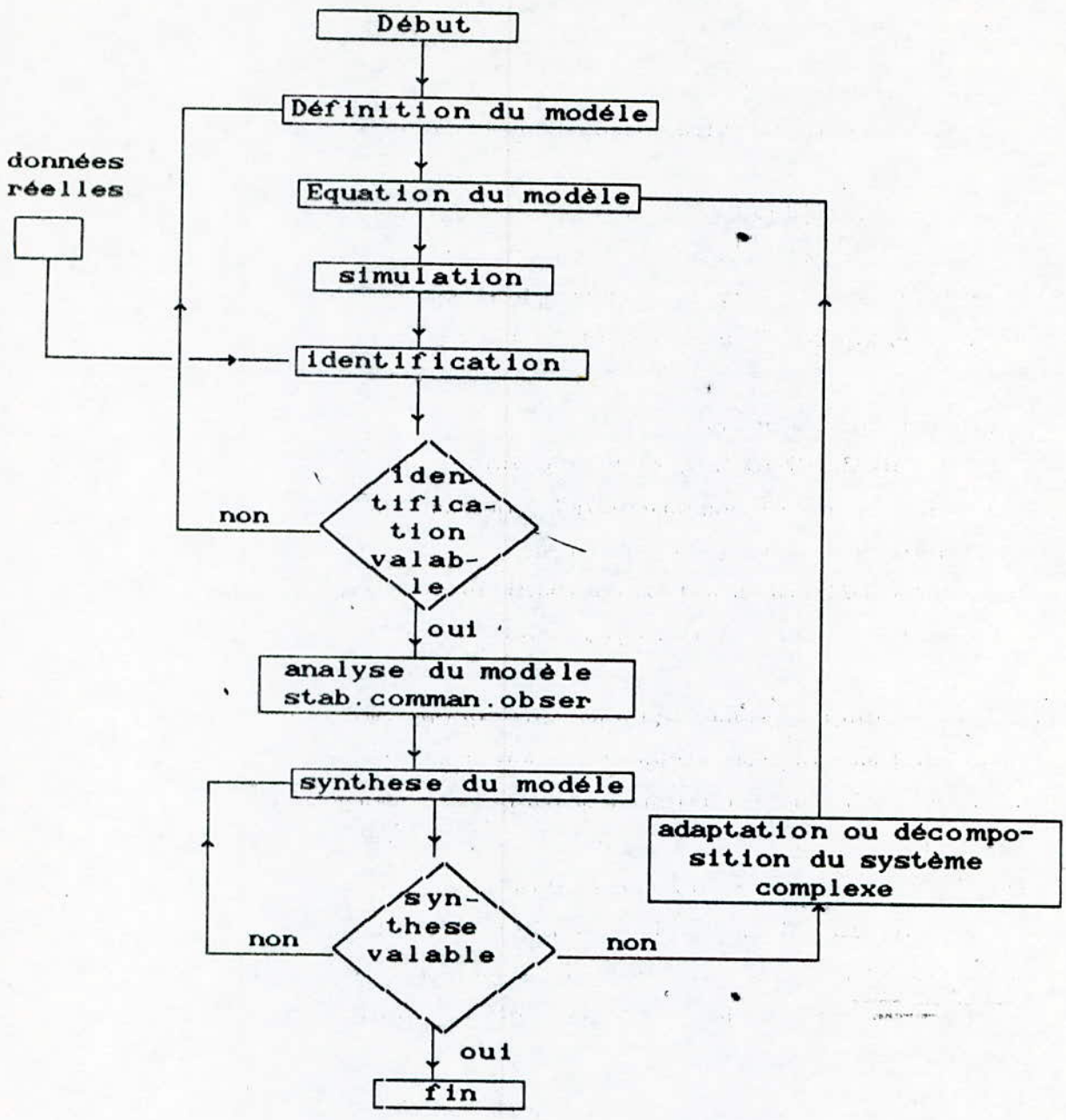


figure 1

## A - 1 . Elements fondamentaux

SIGA+ est un système de CAO conçu pour le développement de la commande automatique. Il a essentiellement trois objectifs:

- 1- faciliter le dialogue utilisateur-système,
- 2- introduire des programmes généraux pour l'analyse, la simulation et la commande des systèmes,
- 3- présenter les facilités de l'utilisation graphique.

En général SIGA+ peut être défini comme un système d'ordinateur qui automatise les étapes de la méthodologie de conception.

L'implantation de ce système nécessite la résolution des quatre problèmes suivants:

- P1- Interpretation du langage de haut niveau.
- P2- Implementation et standardisation des programmes.
- P3- Sortie graphique.
- P4- Coordination du système global.

Les éléments qui constituent SIGA+ sont:

**Interpreteur** : exécute l'analyse lexicale, syntaxique et sémantique de commande et expressions du langage de haut niveau.

**Librairie** : contient les routines standard du traitement numérique, fonctions externes, matrices et opérations polynomiales.

**Structure de donnée** : assure les représentations internes et externes des modèles.

- Software graphique : il est développé dans le but d'utiliser l'écran graphique et le traceur pour la sortie des résultats.
- Module de programmes : contient les programmes interactifs associés aux étapes de commande de processus. Nous retenons les huit modules ayant les fonctions suivantes :
- SIMPAC : simulation package, permet d'obtenir les réponses fréquentielles et/ou temporelles des systèmes continus et/ou discrets.
- ANAPAC : system analysis package, traite la stabilité, sensibilité, gouvernabilité et observabilité des systèmes.
- TRNPAC : system transformation package (module de transformation) la transformation continu  $\rightarrow$  discret, temporel  $\leftrightarrow$  fréquentiel.
- IDNPAC : identification package, structure d'identification, paramètres d'estimation.
- SYFPAC : synthesis and design package, module de synthèse et de conception dans le domaine fréquentiel.
- SYTPAC : module de synthèse et de conception dans le domaine temporel ( commande optimale, observateur de Luenberger... ).
- POLPAC : pole placement package, placement de pôle pour les systèmes monovariables et multivariables.
- AGRPAC : agregation et décomposition des modules de systèmes complexes.



Editeur : assiste l'utilisateur dans l'ensemble des directives et permet de modifier, de sauvegarder, d'exécuter et d'effacer des programmes écrits en SIGA+.

#### A - 2 . Interface du dialogue homme-machine

Cette interface est composée d'une description spécifique du langage pour la commande automatique. Ce langage permet l'assimilation des notions automatiques telles que les modèles.

La structure modulaire du SIGA+ est donnée par le schéma de la figure 2.

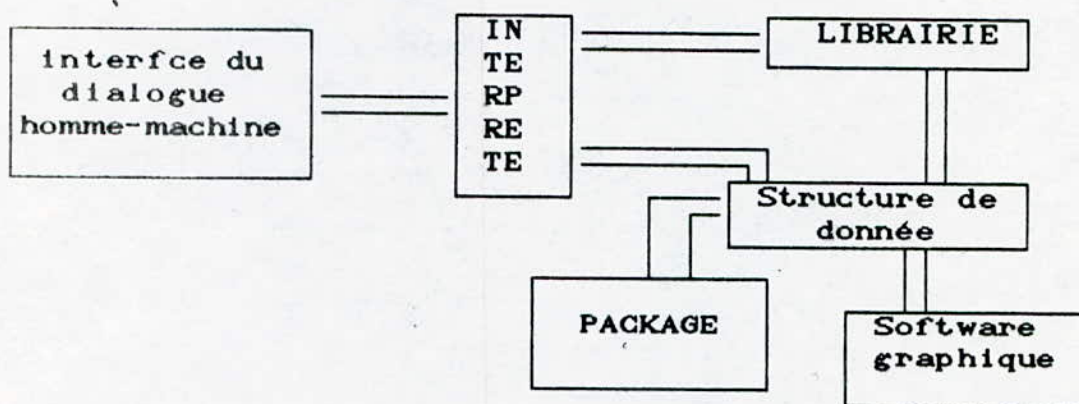


figure 2

#### **B- Le système interactif Blaise pour le contrôle engineering [2]**

Le système Blaise a été conçu pour faire face aux contraintes des systèmes interactifs et pour répondre aux exigences de la transportabilité et le traitement numérique. Il introduit un langage de programmation complet travaillant sur la base de donnée adaptée aux problèmes de la commande automatique.

Blaise incorpore la bibliothèque standard MATLAB manipulée à l'aide d'un langage de commande. IL a été développé de telle sorte qu'il satisfasse les objectifs suivants :

- une base de donnée large
- paramétrisation des macros
- méthodes numériques robustes.

Ces choix ont été faits pour traiter efficacement la variété des problèmes de la commande automatique.

### B - 1 . Macros

La notion de macro a été développée pour utiliser le plus grand nombre, d'algorithmes dans le contrôle engineering. Ces macros admettent plusieurs types de variables comme paramètres d'entrée/sortie et peuvent se référer aux variables définies au préalable.

Pour l'utilisateur, il n'y a pas de différence entre un macro et une fonction fondamentale du système, ils sont totalement récursifs.

La large utilisation des macros a incité à écrire un compilateur. Les macros compilés sont deux fois plus rapides que les macros interprétés. Ainsi, l'efficacité du système est basée sur le choix entre les fonctions fondamentales ( écrites en fortran ) et les macros (écrits en Blaise).

### B - 2 . problèmes non linéaires

Généralement la description informatique des problèmes non linéaires est possible seulement par un programme.

Depuis que les macros sont des éléments de données fondamentales, Blaise peut manipuler ces problèmes, car les fonctions non linéaires peuvent être définies comme macros.

### B - 3 . Interface avec macsyma

A un stade de développement, le besoin de calcul non numérique est apparu, par exemple le calcul du jacobien, le calcul des équations adjointes dans les problèmes de commande, l'analyse et les matrices de transfert.

On a développé quelques programmes spécifiques et de petites interfaces qui permettront de transmettre les variables des données fondamentales de Blaise à Macsyma. On a généré des macros implantant les formules analytiques, dérivées des calculs symboliques de Macsyma

Le système Blaise est assez bien adapté aux solutions numériques des problèmes de commande, il contient environ 12000 lignes fortran et la bibliothèque contient environ 100000 lignes.

### C- SIRENA+ Système interactif souple pour la simulation, l'identification et la conception

Sirena+ est un système interactif écrit en fortran 77, et a été installé dans une grande variété de calculateurs, sa structure modulaire (700 routines ) assure sa maintenabilité et son évolution. C'est un système qui travaille en temps réel et utilise le concept de langage de commande comme moyen de communication avec l'utilisateur.

Le module simulation de Sirena+ permet de prendre en considération les modèles dynamiques décrits de différentes manières.

La simulation suit les étapes suivantes:

- description structurée et formelle des systèmes à simuler
- description des entrées (signaux:impulsion, rampe, sinusoïde...)
- définition d'un intervalle de temps ou de fréquence

La méthode de simulation dépend du type de système ( s'il est continu il sera transformé en discret ).

soit le système suivant:

$$\begin{aligned}\underline{x} (t) &= A \underline{x} (t) + B \underline{u} (t) \\ \underline{y} (t) &= C \underline{x} (t)\end{aligned}$$

c'est la représentation d'état du système continu, son équivalent en discret est:

$$\begin{aligned}\underline{x}_{k+1} &= \phi \underline{x}_k + \Gamma \underline{u}_k \\ \underline{y}_k &= C \underline{x}_k\end{aligned}$$

Dans le cas de non linéarités ou quand la méthode ne s'applique pas, les équations sont intégrées par les algorithmes de Runge Kutta ou Gear. Donc la simulation des systèmes discrets combine toutes les techniques numériques.

## C - 2 . Identification

Sirena+ intègre deux méthodes d'identification qui consistent à minimiser l'erreur de sortie, ou l'erreur de l'équation

de sortie.

Pour définir un système on peut utiliser trois modèles :

$$A(Z^{-1}) Y(k) = \sum_{i=1}^r B_i(Z^{-1}) u_i(k) \quad (1)$$

$$y(k) = \sum_{i=1}^r \frac{B_i(Z^{-1})}{A_i(Z^{-1})} u_i(k) \quad (2)$$

$$\frac{y(s)}{u(s)} = \frac{B(s)}{A(s)} = H(s) \quad (3)$$

La minimisation de l'erreur de sortie qui est une méthode très générale peut être utilisée aux trois types de modèle.

Pour les modèles (1) et (2) la méthode procède par la réponse échantillonnée du système, le critère est:

$$e_{OE} = \arg(\min \sum (y_m(k) - y(k))^2)$$

où  $y_m(k)$  est la sortie.

Pour le modèle (3) la réponse est fréquentielle, le critère est alors:

$$e_{OE} = \arg(\min \sum |H(jw_k) - (V_k + j X_k)|^2)$$

où  $V_k$  et  $X_k$  représentent les parties réelle et imaginaire du point expérimental de Nyquist à la pulsation  $w_k$ .

La minimisation de l'erreur de l'équation de sortie est appliquée au modèle (1), on utilise trois méthodes: moindres carrés, moindres carés généralisés et maximum de vraisemblance. L'identification suivra les étapes indiqués sur l'organigramme suivant:

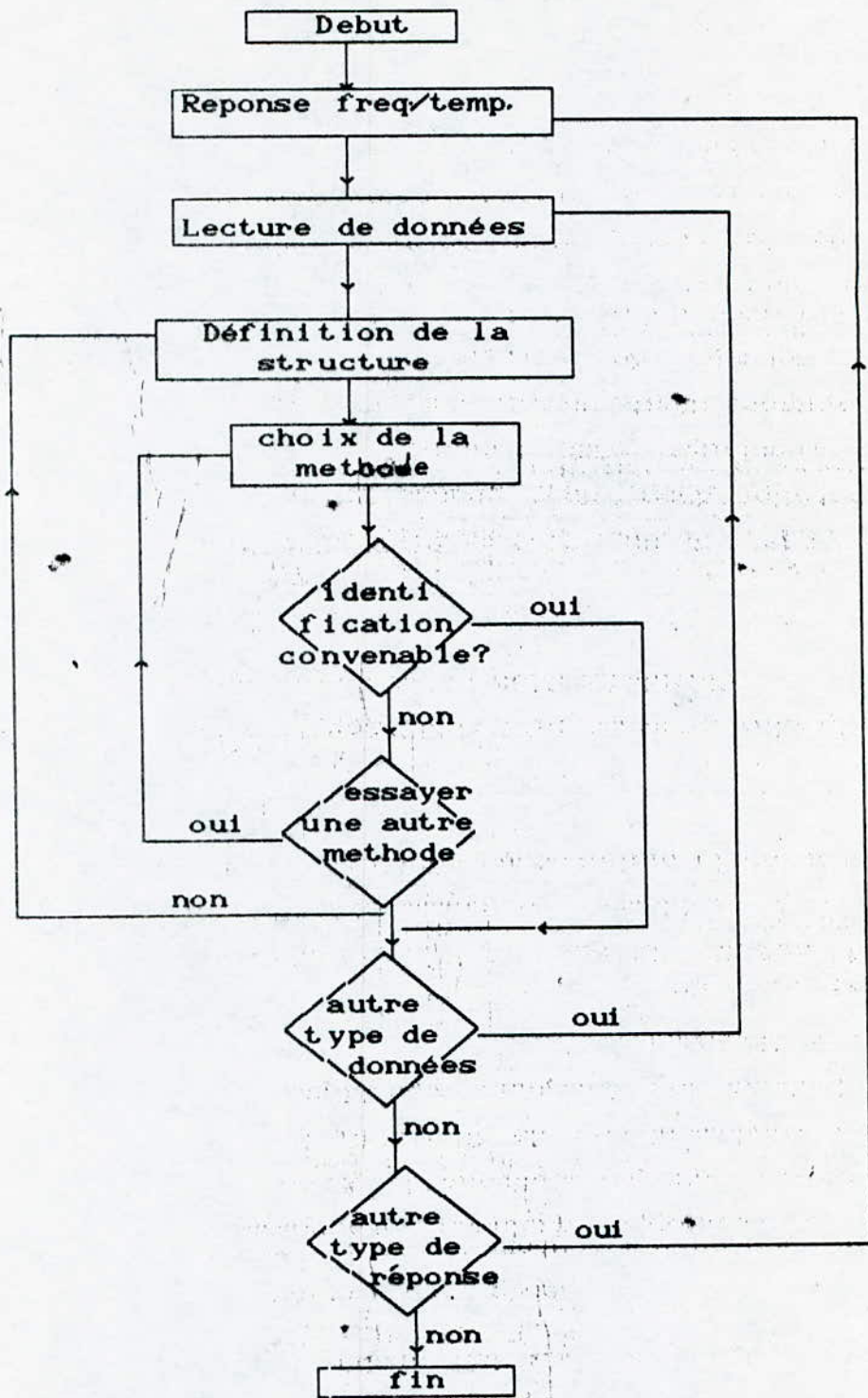


figure 3

### C - 3 . Outils de commande

Quelques facilités ont été introduites dans Sirena+ afin d'exécuter la synthèse par la représentation d'état.

Soit le système suivant:

$$\begin{aligned} \dot{x} &= A x + B u \\ y &= C x + D u \end{aligned} \quad (1)$$

#### Evaluation de pôle/zéro

Pour le modèle (1), les pôles du système sont obtenus en calculant les valeurs propres de la matrice A.

#### Placement de pôle

Sirena+ introduit la méthode de Targa (1981) qui transforme essentiellement la paire (A,B) à la forme de Schur par une transformation orthogonale et calcule le gain dans le cas où le système est stable puis retourne aux bases initiales.

#### Algorithme de commande linéaire quadratique

Pour le calcul des éléments de la structure de commande, il est nécessaire de distinguer les systèmes continus des systèmes discrets. Ce calcul nécessite l'utilisation des méthodes de Laub et de Barraud pour les deux cas (continu, discret).

### C - 3 . Conclusion

Sirena+ est complètement écrit en fortran. Il est actuellement transportable sur de nombreuses machines, il garantit sa maintenance et son évolution. Sirena+ est actuellement commercialisé.

## D-CYPROS Outils pratiques de CAO pour le modèle mathématique

### D - 1 . Modèle mathématique

Le modèle mathématique peut être conçu en utilisant l'approche physique ou l'approche de la boîte noire. L'ingénieur applique les équations d'équilibre et les lois physiques fondamentales pour générer certaines équations différentielles et algébriques.

La procédure de modélisation est rigoureusement simplifiée si le programme interactif de simulation est disponible. Il est alors facile de vérifier les différentes structures du modèle et voir comment les hypothèses et les valeurs des paramètres agissent sur le comportement du modèle.

### D - 2 . Utilisation des programmes interactifs de CAO

L'utilisation de programmes interactifs de simulation, d'identification et d'analyse réduit le nombre de problèmes de construction du modèle. CYPROS ( Cybernetic program package ) est un système de programmes interactifs conçu pour étudier non seulement les problèmes mais aussi l'analyse et la conception de la commande des systèmes.

La figure ( 4 ) illustre la procédure de modélisation et les capacités du système Cypros.



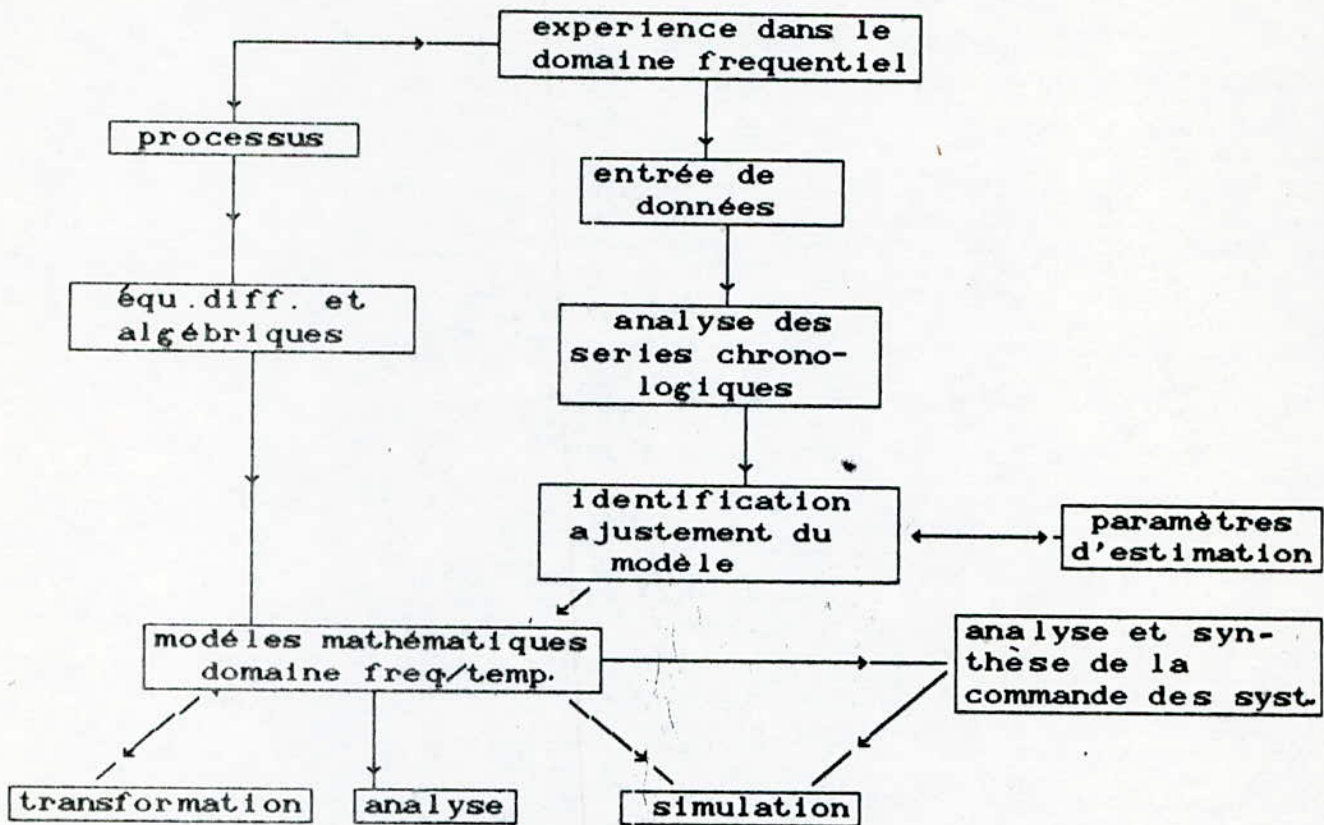


figure 4

Il existe plusieurs méthodes pour résoudre les équations différentielles et les équations aux différences. Les méthodes les plus couramment utilisées sont celles d'Euler et de Kutta Merson. La méthode de résolution des équations différentielles stiff est aussi introduite.

Le système Cypros peut être implémenté sur un mini aussi bien que sur un micro ordinateur.

E- CACSD. Conception assistée par ordinateur dans la commande des systèmes. Une approche intégrée

La figure ci-après récapitule les différentes fonctions assurées par CACSD.

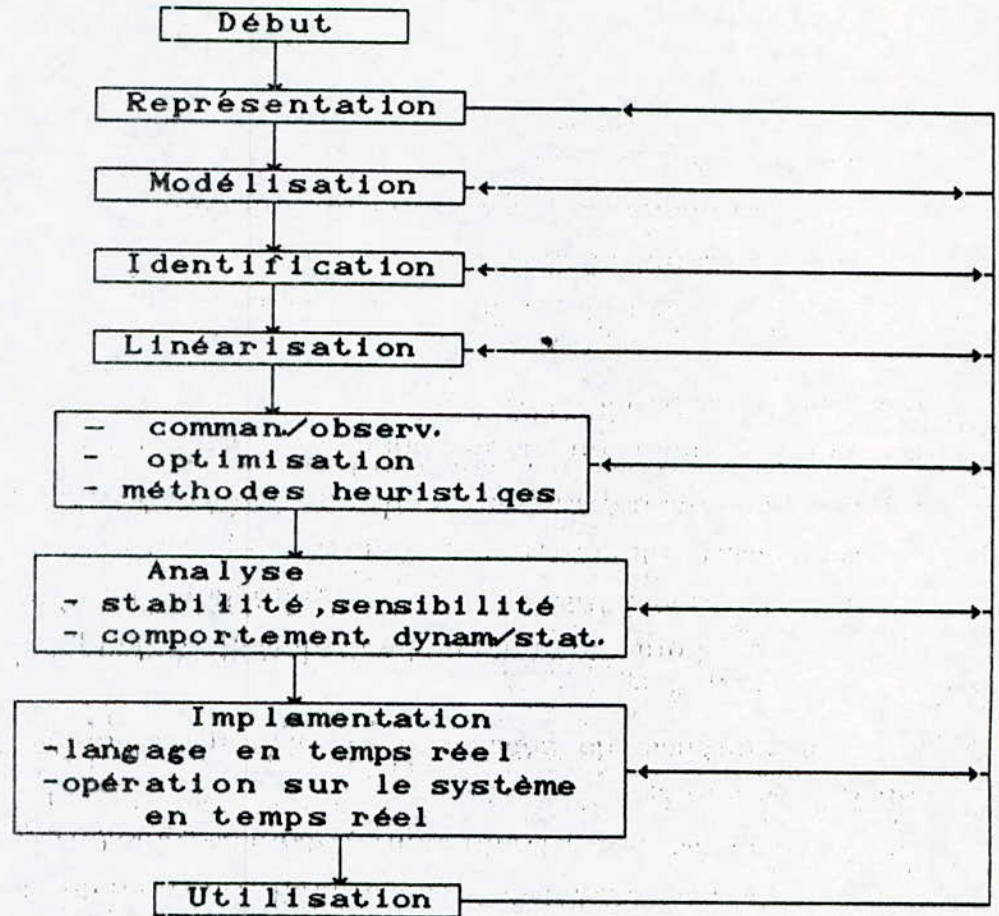


figure 5

Le CACSD peut être un outil d'aide à l'enseignement. Il permet de traiter les problèmes dans des exercices ou des cours de contrôle. En supportant des techniques de conception linéaire aussi bien que non linéaire, il permet aux étudiants de pouvoir observer le comportement du système régulé linéarisé.

La figure ci-dessous montre les utilisations de CACSD dans l'introduction des cours.

Sujet de commande	Utilisation des outils de CACSD dans les exercices
<p>           systèmes linéaires            représentation d'état            et fonction de transfert         </p> <p>           formes normales         </p> <p>           gouvernabilité et            observabilité         </p> <p>           stabilité         </p> <p>           commande linéaire des            systèmes            comportement stat/dynam.         </p> <p>           systèmes linéaires            discrets            introduction aux syst.            discrets         </p> <p>           système non linéaire         </p>	<p>           stipuler la translation numérique-            ment et algébriquement         </p> <p>           générer et comparer les formes            normales         </p> <p>           générer des tests pour comm/obser.            pour des exemples non triviaux qui            assistent une interprétation            physique         </p> <p>           tests automatiques de stabilité         </p> <p>           utiliser les caractéristiques            graphiques, simulation            comparaison avec pôle dominant         </p> <p>           comparaison entre les comportements            des systèmes continus et discrets            transformation entre les repré-            sentations continues et discrettes         </p> <p>           modélisation , linéarisation         </p>

figure 6

I - 3 . Conclusion

A travers les systèmes que nous venons de présenter nous pouvons résumer les caractéristiques essentielles que prédefinisent les systèmes de CAO en automatique.

systeme	langage	structure	transportable	travaille en temps réel
SIGA+	Langage de haut niveau	modulaire	oui	oui  temps on line et off line
SIRENA+	Fortran 77	modulaire	oui	
BLAISE	Fortran	programme complet	oui	
CYPROS	Fortran 77	programme complet		
CACSD	Fortran	programme	oui	

## CHAPITRE II

### DESCRIPTION DU LOGICIEL

Dans ce chapitre nous allons présenter l'architecture interne du logiciel . Nous rappelons que ce logiciel a été réalisé dans l'objectif d'assister l'utilisateur automatique ou non à l'analyse , la simulation et la conception de modèles d'automatiques.

Le logiciel est développé sous l'environnement de programmation Turbo-Basic de Borlan INC utilisant le système d'exploitation MS DOS .

Le logiciel tourne actuellement sur la machine Vectra de Hewlett Packard et standardisé de telle sorte à fonctionner sur la norme compatible IBM PC .

Nous avons retenu une structure modulaire dans l'architecture générale du logiciel . L'ensemble est supervervisé par un menu principal .

Dans ce qui suit , en première étape , nous mettons à l'évidence l'organigramme qui représente la structure globale du logiciel et en deuxième étape nous allons décrire les fonctionnalités de chacun de ses modules.

## II - 1 - 1. Menu principal

Le menu principal présente cinq (5) options:

- Gestion de fichiers.
- Manipulation de données.
- Simulation.
- Analyse.
- Synthèse.

Ainsi l'utilisateur aura le choix selon ses besoins de travailler sans passer par l'appel des programmes correspondants. Leurs appel et execution se font automatiquement pour n'importe quelle option.

Avant de donner les fonctions de chacune des commandes, nous préférons donner un aperçu sur l'éditeur-analyseur que nous retrouvons dans la majorité des options.

### - Editeur Analyseur

#### - Editeur

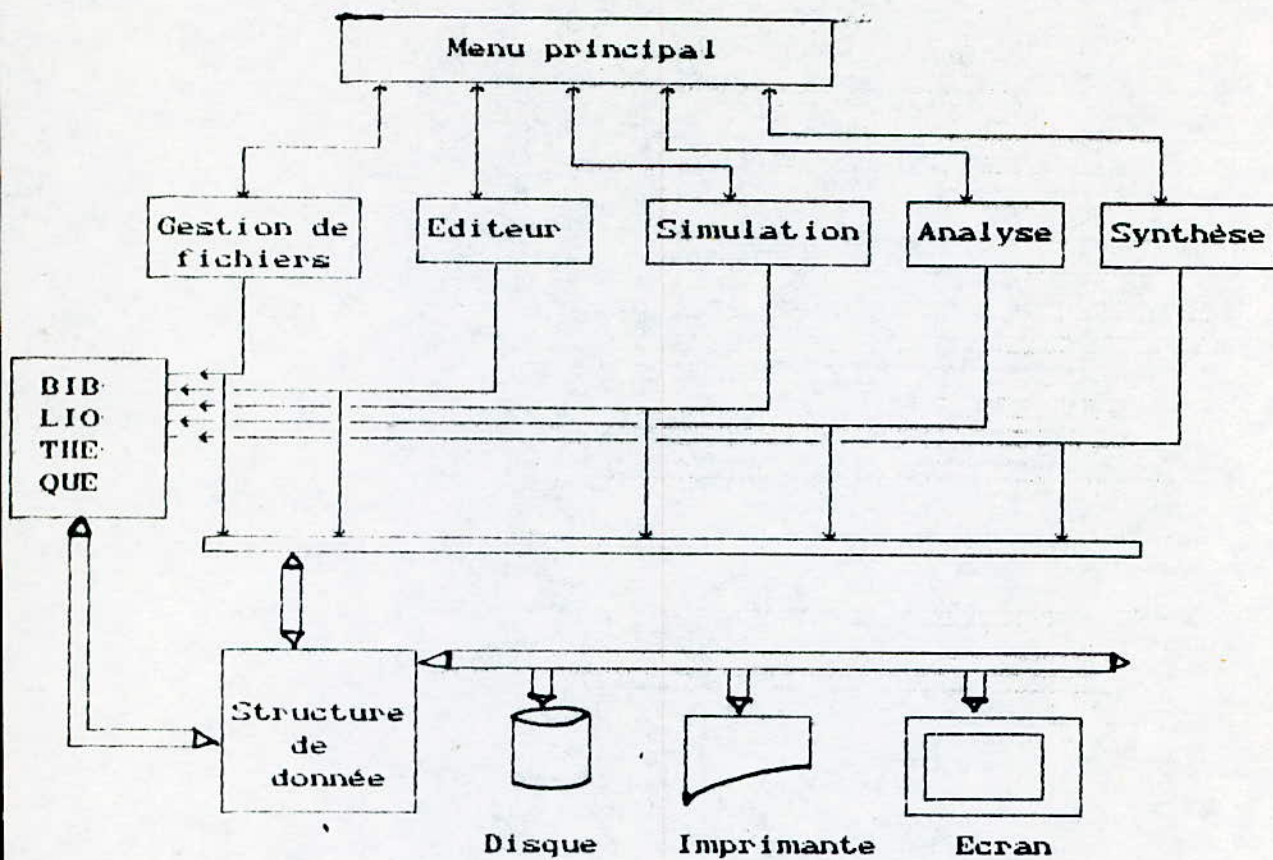
L'éditeur constitue l'interface de communication entre l'utilisateur et le logiciel

En effet les données des modèles sont introduites à partir de l'éditeur .

Il permet de saisir des caractères numériques ou alphanumériques sur une partie de l'écran ou sur toute la page d'écran .

Il est d'une utilisation très souple et permet les déplacements du curseur dans les quatre sens, l'effacement des caractères, l'insertion de lignes, la suppression de lignes, etc ...

#### - Analyseur





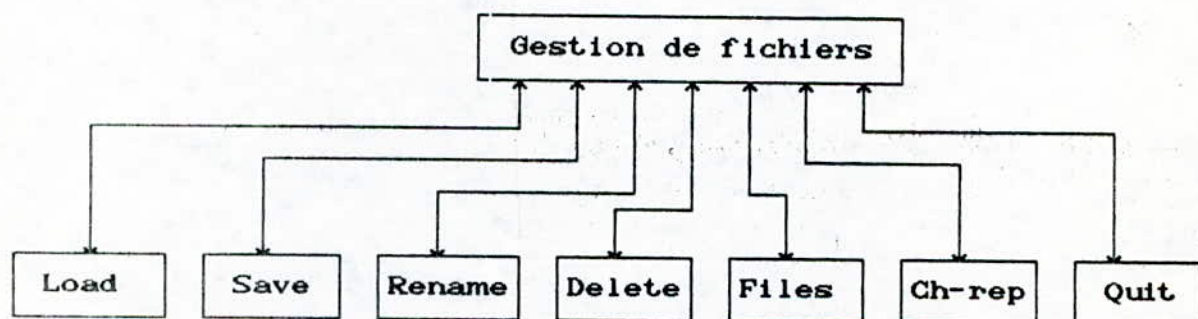
C'est un analyseur syntaxique. Il est utilisé pour détecter les erreurs de syntaxe lors de l'introduction des données et, s'il y a lieu, le type d'erreur.

Il recherche les caractères de 0 à 9, ".", blanc, "+", et "-". En 1<sup>er</sup> lieu il recherche soit le point "." soit le moins "-" soit le plus "+" soit le chiffre. Dès qu'il trouve l'un de ces caractères, il va chercher le séparateur indiqué par un blanc ou une virgule. Ensuite il lit la valeur du nombre, et s'il trouve un caractère autre que ceux cités plus haut, il envoie un message d'erreur.

## II - 1 - 2. Commandes du menu principal

### a - Gestion de fichiers

Cette commande permet une communication entre la mémoire de l'ordinateur et l'unité de disques, ou d'opérer sur celle-ci.



### b - Manipulation de données: Choix de la commande Edit

Il apparaît un éditeur plein écran qui permet à l'utilisateur d'introduire ses données, de déplacer le curseur, d'effacer et de rectifier en cas d'erreur.

Les noms des données à introduire apparaissent dès l'appel de l'éditeur. On fait entrer:

- les ordres des matrices,
- l'horizon de simulation,
- les conditions initiales,
- les éléments des matrices.

L'écriture des éléments des matrices peut se faire de manière quelconque, sauf qu'il faut séparer ces éléments par des blancs ou des virgules.

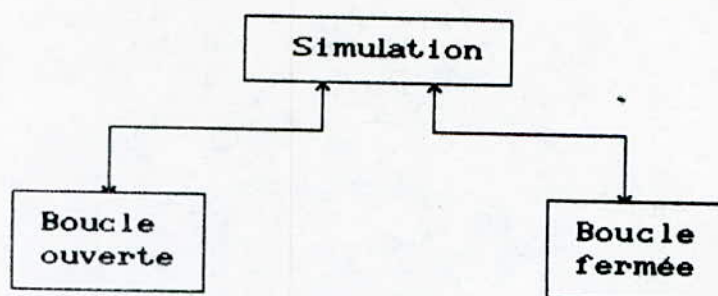
#### Saisie de données

Les données introduites sur l'éditeur ne sont pas immédiatement mémorisés mais elles peuvent être sauvegardées, de l'éditeur, par la commande "CTRL/A" ou à partir du menu par la commande "Save".

La saisie se fait par ordre, l'analyseur lit d'abord la matrice A ensuite la matrice B et puis la matrice C. Chacune de ces matrices sera mise dans une pile.

Le sous-programme qui fait la sauvegarde s'appelle "SAUV". Son principe est simple. Il ouvre un fichier dans lequel il stocke les données. Ainsi, ces données sont gardées en mémoire.

#### Choix de la commande simulation



En appelant simulation les commandes suivantes apparaissent:

- Boucle ouverte

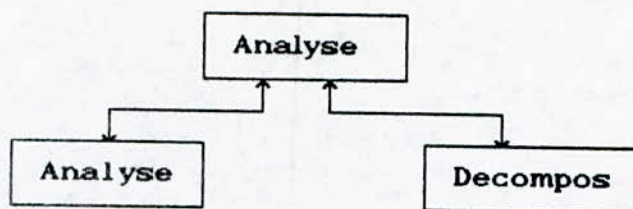
La simulation se fait en boucle ouverte.

- Boucle fermée

La simulation se fait en boucle fermée.

Dans les deux cas, il apparait une petite fenêtre où il est indiqué les types d'entrées à introduire. Lorsque le choix est fait, une autre fenêtre apparaîtra dans laquelle il faut introduire soit les coefficients de l'entrée, soit tout le polynôme qui décrit la fonction d'entrée.

d - Choix de la commande Analyse



### Les commandes du sous- menu

#### - Analyse

Détermine la stabilité, la commandabilité et l'observabilité du système.

#### - Décomposition

Permet de décomposer le système en sous systèmes.

#### e - Choix de la commande synthèse

Détermine la commande optimale du système.

### II - 1 - 3.Bibliothèque mathématique

Elle contient tout les sous-programmes de calcul. A l'appel d'une des commandes Analyse, Simulation ou synthèse, l'information et les paramètres sont envoyés vers la bibliothèque qui à son tour les transmet aux sous - programmes de calcul correspondants.

La procédure de cette bibliothèque s'appelle Math, elle détecte la commande activée et appelle les sous-programmes qui font le calcul demandé par l'utilisateur.

## II - 1 - 4. Edition des résultats

La sortie des résultats peut se faire soit sur écran, soit sur imprimante, soit sur table traçante.

L'édition peut être numérique ou graphique.

### - Résultats numériques:

Les résultats sont mis dans un fichier et envoyés à l'écran ou à l'imprimante selon le choix de l'utilisateur.

### - Résultats graphiques:

L'édition graphique des résultats permet de les apprécier sous forme de tracé. Les entrées/sorties ( conversation avec l'ordinateur ) sont interactifs ( choix du mode d'écran, du nombre de courbes à représenter, des courbes à représenter etc ... )

### - Gestion de l'écran:

Il n'est pas multicadres, la disposition des axes et de l'origine est automatique ( elle varie selon les valeurs minimums et maximums des résultats ).

L'écran a une bonne gestion ( multicourbes, disposition des axes, échelles linéaires, multiaxes etc...); il y a aussi possibilité de rappeler les courbes précédentes.

## II - 2. Conclusion

Nous pouvons dire que le logiciel ainsi décrit a une structure modulaire. Il contient trois procédures principales: la procédure Menu fait le menu principal et les menus auxiliaires, la procédure Editeur construit l'éditeur, décrit plus haut, ainsi que tous les autres qui apparaissent lorsque certaines commandes sont activées, La procédure Math qui élabore la bibliothèque mathématique.

Le logiciel est indépendant de la configuration du micro - ordinateur: d'autres micro - ordinateurs peuvent le lire.

Il permet un dialogue homme - machine par l'intermédiaire de ses menus.

CHAPITRE III

TRAITEMENT AUTOMATIQUE

### III - 1 . Analyse [4 ]

Toute tentative d'automatisation d'un processus physique nécessite une analyse au préalable des propriétés du modèle le représentant .

En effet ,l'analyse de modèle , a pour objet la mise en évidence des indices de qualités qu'il possède .

D'une manière générale , en automatique , l'analyse de modèles, consiste à l'étude de la stabilité , de la gouvernabilité et de l'observabilité .

Dans le cadre de ce chapitre , nous allons décrire les algorithmes très pratiques , implémentés dans notre logiciel et permettant de traiter les questions relatives à l'analyse des modèles linéaires d'automatique .

#### III -1 -1 . Stabilité :

Un système est dit stable, lorsque ses états atteignent le régime permanent , lors de l'excitation de ses entrées .

Le théorème utilisé pour étudier la stabilité du système est celui des valeurs propres .

Un système est dit stable si les parties réelles de ces valeurs propres sont toutes négatives .

Soit le système décrit par les équations suivantes :

$$\dot{x} = Ax + Bu \quad (1)$$

$$y = Cx$$

$$A(n,n), B(n,m), C(r,n)$$



Les valeurs propres du système s'obtiennent en résolvant l'équation :

$$\det(A - \lambda I) = 0$$

C'est un polynôme de degré  $n$ , d'inconnue  $\lambda$ .

$$P(\lambda) = \alpha_n \lambda^n + \alpha_{n-1} \lambda^{n-1} + \dots + \alpha_0$$

donc si  $\text{Re}(\lambda_i) < 0$  alors le système est stable.

On peut résumer la stabilité dans ce qui suit

- Calcul des valeurs propres  $\lambda_i$  de la matrice  $A$

- Test des valeurs propres  $\lambda_i$   $\left\{ \begin{array}{l} \text{si au moins une valeur} \\ \text{propre } \lambda_i \geq 0 \text{ alors} \\ \text{système instable} \\ \text{sinon système stable} \end{array} \right.$

### III - 1 -2. Commandabilité - Observabilité :

Les propriétés de commandabilité et d'observabilité représentent une certaine régularité du modèle auquel elles sont appliquées.

- Commandabilité :

La commandabilité traduit l'influence de l'entrée sur l'état et pose le problème de l'existence d'une commande faisant passer le système d'un état initial à un autre état en un temps fini.

Pour tester la commandabilité du système (1), on construit une matrice  $U$  constituée des vecteurs colonnes des matrices  $B, AB, A^2B, \dots, A^{n-1}B$ . S'il existe  $n$  vecteurs linéairement indépendants, c'est à dire que le rang de la matrice  $U$  est  $n$ , alors le système est commandable.

$$U = [ B \quad AB \quad A^2B \quad \dots \quad A^{n-1}B ]$$

Si  $\text{Rang}(U) = n$  alors le système est commandable .

- Observabilité :

L'observabilité traduit l'influence de l'état sur la sortie et pose le problème de la déduction de l'état initial du système à partir de l'observation en un temps fini de la sortie .

Pour tester l'observabilité, on construit une matrice  $V$  constituée, dans ce cas, par les vecteurs colonnes :

$$C^T, A^T C^T, (A^T)^2 C^T, \dots, (A^T)^{n-1} C^T .$$

L'existence de  $n$  vecteurs linéairement indépendants ( $\text{Rang}(V) = n$ ) rend le système observable.

$$V = [ C^T \quad A^T C^T \quad (A^T)^2 C^T \quad \dots \quad (A^T)^{n-1} C^T ]$$

Algorithme

- 1 - Lire  $A$  ,  $B$  ou  $A$  ,  $C$
- 2 -  $k = 1$
- 3 - faire le produit  $(A , B)$  ou  $(A , C) = Q$
- 4 - construire  $U = (B \ AB \ \dots)$  ou  $(C^t \ A^t C^t \ \dots)$
- 5 - si  $\text{Rg}(U) < n$  alors aller à 7 sinon aller à 10
- 6 - incr  $k$
- 7 - faire produit  $(A , Q)$
- 8 - si  $k < n$  alors aller à 9 sinon aller à 11
- 9 - retour à 4
- 10 - système commandable aller à 12
- 11 - système non commandable
- 12 - fin

Nous présenterons ultérieurement l'organigramme du test de dépendance linéaire .

### III - 1 - 3 . Décomposition en sous-systèmes :

Nous cherchons à décomposer le système décrit en (1,1), de dimension  $n$ , en sous-systèmes de différentes classes .  
Ces classes représentent les sous-espaces de contrôlabilité et ou d'observabilité . .

Pour ce faire, on calcule la matrice modale du système (1). Celle-ci est constituée des  $n$  vecteurs propres associés respectivement aux  $n$  valeurs propres de la matrice  $A$  .

Il s'agit donc de calculer les vecteurs propres du système.

Les valeurs propres s'obtiennent d'après la relation :

$$P(\lambda) = \det (\lambda I - A) = 0$$

On obtient la matrice  $\Lambda$  diagonale formée par les valeurs propres  $\lambda_i$ .

On tire les vecteurs propres de la formule suivante :

$$A v_i = v_i \lambda_i$$

où  $v_i$  sont les vecteurs propres du système  $i=1, \dots, n$

La matrice modale est alors :

$$M = [ v_1 \ v_2 \ \dots \ v_n ]$$

On forme les matrices  $\hat{A}$ ,  $\hat{B}$  et  $\hat{C}$  :

$$\hat{A} = M^{-1} A M$$

$$\hat{B} = M^{-1} B$$

$$\hat{C} = C M$$

Le nouveau système sera donc :

$$\left. \begin{array}{l} Z = M^{-1} A M Z + M^{-1} B u \\ y = C M Z \end{array} \right\} \text{ ou encore } \left\{ \begin{array}{l} Z = \hat{A} Z + \hat{B} u \\ y = \hat{C} Z \end{array} \right.$$

Ainsi la matrice  $\hat{A}$  apparait sous forme d'un certain nombre de blocs de Jordan  $\hat{A}(i)$  associés aux diverses valeurs propres  $\lambda_i$  selon le schéma ci-dessous :

$$\hat{A} = \begin{bmatrix} \hat{A}(1) & & & & \\ & \hat{A}(2) & & & \\ & & \ddots & & \\ & & & \hat{A}(r) & \\ & & & & \ddots \end{bmatrix}$$

Si  $A_1$  est le bloc de Jordan associé à  $\lambda$  et  $\bar{A}_1$  est le complexe conjugué de  $A_1$ , alors  $\bar{A}_1$  est le bloc de Jordan de  $\bar{\lambda}$ .

Introduisons la transformation équivalente  $x = \bar{P} x$

Alors

$$P = \begin{bmatrix} I & I \\ iI & -iI \end{bmatrix} \quad (i^2 = -1)$$

$$P^{-1} = 1/2 \begin{bmatrix} I & -iI \\ I & iI \end{bmatrix}$$

On peut donc vérifier facilement l'équation dynamique:

$$\begin{bmatrix} \bar{X}_1 \\ \bar{X}_2 \end{bmatrix} = \begin{bmatrix} \text{Re } A_1 & \text{Im } A_1 \\ -\text{Im } A_1 & \text{Re } A_1 \end{bmatrix} \begin{bmatrix} \bar{X}_1 \\ \bar{X}_2 \end{bmatrix} + \begin{bmatrix} 2\text{Re } b_1 \\ -2\text{Im } b_1 \end{bmatrix} U$$

$$Y = \begin{bmatrix} \text{Re } C_1 & \text{Im } C_1 \end{bmatrix} \begin{bmatrix} \bar{X}_2 \\ \bar{X}_1 \end{bmatrix}$$

La matrice  $\hat{A}$  peut aussi s'écrire de la manière suivante:

$$\hat{A} = \begin{bmatrix} \lambda_1 & 1 & & & & \\ & \lambda_1 & & & & \\ & & \lambda_2 & 1 & & \\ & & & \lambda_2 & & \\ & & & & \ddots & \\ & & & & & \lambda_r & 1 \\ & & & & & & \lambda_r \end{bmatrix} \quad \hat{B} = \begin{bmatrix} \hat{1B} \\ \hat{2B} \\ \vdots \\ \hat{rB} \end{bmatrix}$$

Ainsi, le système est gouvernable, si la matrice constituée par les dernières lignes de chaque sous-bloc de  $\hat{B}$  est de rang égal au nombre de sous-blocs.

Mais un sous-bloc est gouvernable si la dernière ligne du sous-bloc  $\hat{B}$  associé à  $\hat{A}(i, n_i)$  est non nulle.

Dans le cas où le système n'est pas gouvernable, on choisit le sous-bloc gouvernable qui fera l'objet de calcul des lois de commande.

#### Cas de dégénérescence

Lorsque des blocs de Jordan ont la même valeur propre, on prend une matrice formée des dernières lignes de chaque bloc et on calcule son déterminant. Dans le cas où celui-ci est nul le système n'est pas commandable.

#### Remarque

La décomposition n'est pas toujours réalisable en raison de la mauvaise conception du programme des vecteurs propres.

En effet, les vecteurs propres que nous obtenons sont réels pour n'importe quel système et n'importe quelle application utilisée. Ils sont parfois linéairement dépendants ce qui nous donne une matrice modale singulière et par conséquent nous ne pouvons passer à la synthèse du système.

Algorithme de décomposition :

- calcul des valeurs propres et vecteurs propres .
- Formation de la matrice modale M .
- Calcul de l'inverse de la matrice modale ( $M^{-1}$ ).
- Calcul de  $M^{-1}A M$  ,  $M^{-1}B$  et CM .
- Recherche de sous-bloc commandable .

Organigramme du test de dépendance linéaire :

Cette sousroutine détecte les dépendances linéaires éventuelles dans une suite de vecteurs  ${}^kV$  à l'aide de la procédure de Gram-Schmidt et calcule les coefficients de ces dépendances .

Pour ce faire, au fur et mesure de l'introduction des vecteurs  ${}^kV$  , on construit la suite orthonormée  ${}^kE$  définie par :

$${}^kE = \frac{V - \sum_{i=1}^{k-1} \langle {}^kV | {}^iE \rangle {}^iE}{\| V - \sum_{i=1}^{k-1} \langle {}^kV | {}^iE \rangle {}^iE \|}$$

La dépendance de  ${}^kV$  est alors caractérisée par  ${}^kE = 0$ .

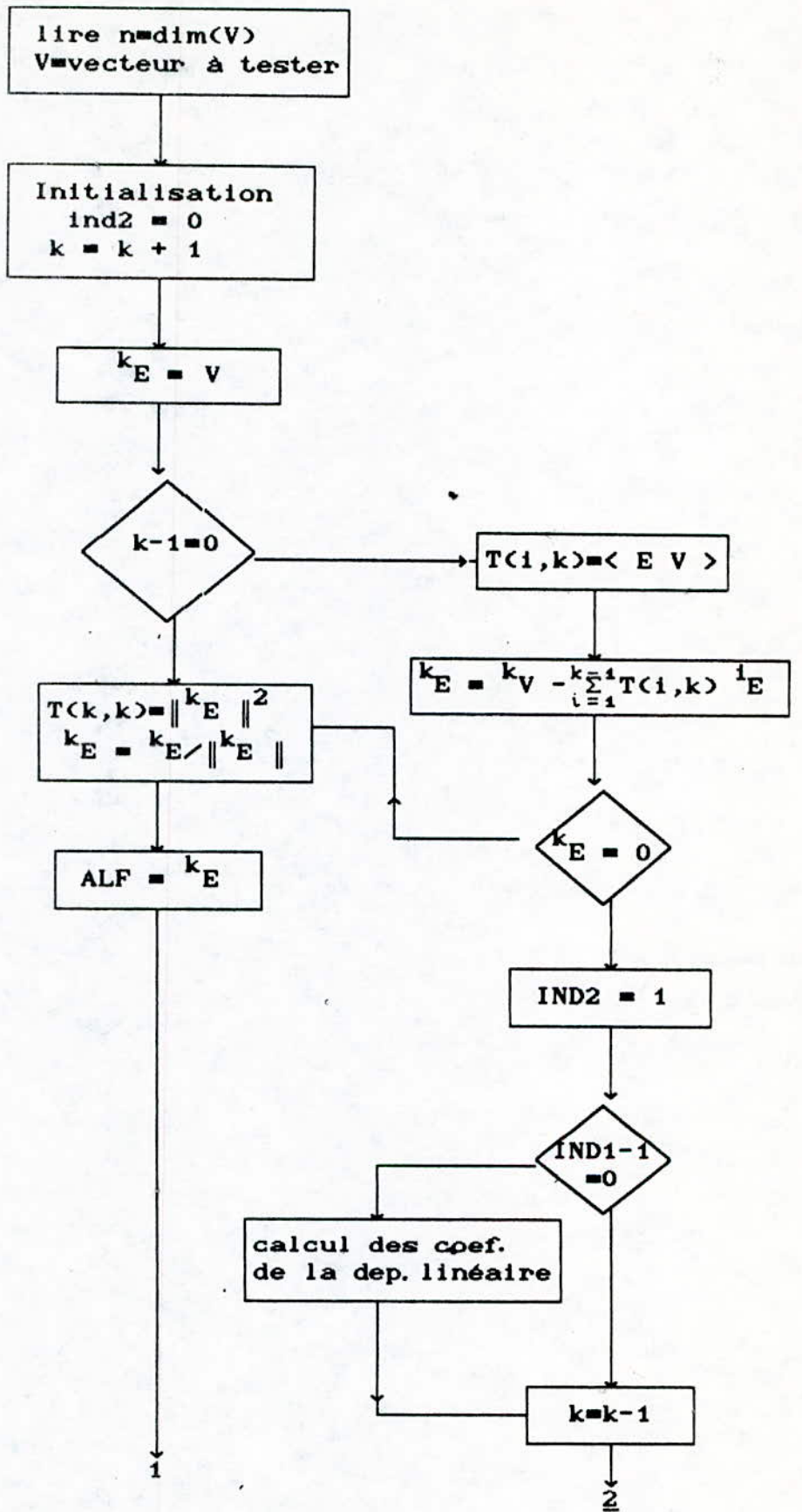
On désigne par  $\alpha_1$  les coefficients de la relation linéaire .

$${}^kV = \sum_{i=1}^{k-1} \alpha_i {}^iV \quad ; \quad t_{ik} = \langle {}^iE | {}^kV \rangle \quad \text{et} \quad \sum_{i=1}^{k-1} t_{ik} {}^iE = \sum_{j=1}^{k-1} t_{j1} {}^jE$$

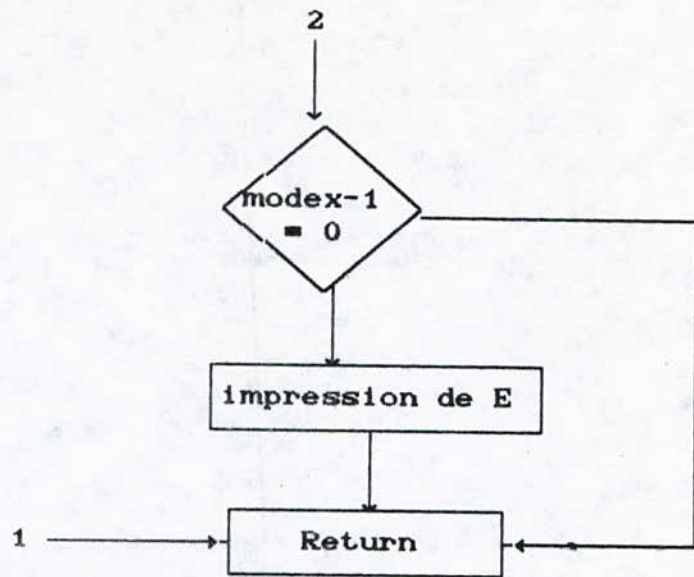
On en déduit:

$$\alpha_{k-1} = \frac{t_{k-i,k} - \sum_{p=1}^{i-k} \alpha_{k-i+p,k-i+p}}{t_{k-i,k-i}}$$

Ce qui nous donne l'organigramme suivant:







### III - 2. Simulation

La simulation constitue la partie la plus importante du processus de conception de modèles.

En effet, dans le cadre de notre projet, ce module permet de simuler le comportement effectif des modèles dynamiques continus.

Ces modèles sont généralement décrits par un ensemble d'équations algèbro-différentielles. Dans la réalité il existe une grande diversité de modèles dynamiques, du simple au complexe, du lent au rapide, du stiff au non stiff etc ...

Le problème est de trouver une méthode de simulation qui permettra de prendre en considération toutes ces catégories de modèles. Une telle méthode constitue la performance du système de simulation.

En effet, au début des années quatre vingt, les recherches ont abouti à une synthèse de la méthode de Gear adaptée à tout type de modèle dynamique, d'où la détermination de la méthode de "Gear généralisée" [ 5 ] que nous avons retenue dans le cadre de la simulation.

#### III - 2 - 1 .Position du problème

Etant donné un modèle dynamique linéaire continu,

$$X(t) = A X(t) + B U(t)$$

$$Y(t) = C X(t)$$

(1)

où X: le vecteur d'état de dimension N

U: le vecteur des entrées ou commande

Y: le vecteur des sorties ou observateur.

Le problème consiste à intégrer le système d'équations (1) sur un horizon fini  $(t_0, t_f)$  de telle sorte que la solution soit stable.

### III - 2 - 2 Description de la méthode de Gear généralisée

La méthode de Gear appliquée à un système différentiel est une méthode de résolution à pas liés.

L'algorithme de résolution contient deux parties essentielles:

- prédiction-correction de la solution,
- determination du pas d'integration (ajustement automatique du pas).

Considérons l'équation:

$$\sum_{j=0}^k \alpha_j x_{n-j+1} + \sum_{j=0}^k h_{n-j} \beta_j \dot{x}_{n-j+1} = 0 \quad (2)$$

Nous en déduisons:

$$\alpha_0 x_{n+1} = -h_n \beta_0 \dot{x}_{n+1} - \sum_{j=0}^k (\alpha_j x_{n-j+1} + h_{n-j} \beta_j \dot{x}_{n-j+1}) \quad (3)$$

$$\text{avec } h_n = t_{n+1} - t_n$$

$$h_{n-j} = t_{n-j+1} - t_{n-j} \quad j=0,1,\dots,k$$

Nous recherchons par l'utilisation de cette méthode l'obtention d'une solution donnée par l'expression (3) satisfaisant en même temps le système (1).

Il faut donc déterminer les coefficients  $\alpha_j$  et  $\beta_j$  à partir de la résolution de systèmes d'équations.

Pour cela nous avons fait appel aux polynômes d'interpolation qui approximent une fonction  $x(t)$  par un polynôme

$P_n(t)$  s'approchant au mieux de  $x(t)$  et dont la forme générale est:

$$x(t) \approx P_n(t) = \sum_{i=0}^n a_i t^i$$

polynôme de degré  $n$ , ce qui revient à calculer les coefficients  $a_i$  grâce à:

$$v(t_0, t_1, \dots, t_n) a = x$$

où  $v(t_0, t_1, \dots, t_n)$  est la matrice de Vandermonde.

Les polynômes d'interpolation qui vont être utilisés sont:

- le polynôme de Newton:

$$P_n(t) = a_0 + a_1(t-t_0) + a_2(t-t_0)(t-t_1) + \dots + a_n(t-t_0)\dots(t-t_{n-1}) + (t-t_0)(t-t_1)\dots(t-t_n) R_{n+1}(t)$$

- le polynôme de Lagrange:

$$P_n(t) = \sum_{i=0}^n x(t_i) L_i(t)$$

$$\text{avec } L_i(t) = \prod_{j=0, j \neq i}^n \frac{t-t_j}{t_i-t_j} ; \quad i \neq j$$

Pour le calcul des coefficients des polynômes d'interpolation on résoud le système  $V^T a = f$ .

C'est un système dual auquel il correspond un système direct de Vandermonde:

$$V x = b$$

a - Méthode prédiction-correction

La prédiction consiste à approcher le point de départ de la zone de convergence en moins d'itérations possibles et la correction améliore cette approche.

$\alpha_j$  et  $\beta_j$  servent à la détermination de  $x_{n+1}^{(1)}$  et  $x_{n+1}^{(2)}$ , de plus une

valeur prédite est nécessaire que nous désignerons par  $x_{n+1}^{(P)}$ .

L'algorithme qui nous concerne sera donc:

- 1) calcul de  $x_{n+1}^{(P)}$
- 2) calcul de  $h x_{n+1}$  en prenant  $x_{n+1}^{(P)}$  comme valeur de démarrage
- 3) résolution de  $f(x_{n+1}, x_{n+1}, t_{n+1})=0$  par la méthode de Newton
- 4) control d'erreur suivant le principe de Gear

1) Calcul de  $x_{n+1}^{(P)}$

$$x_{n+1}^{(P)} = \sum_{i=1}^{k+1} b_i x_{n+1-i} \quad \text{avec } x_{n+1-i} = x(t_{n+1-i}) \quad (4)$$

$$b_i(n,k) = \prod_{j=0}^k \frac{t_n - t_{n-j}}{t_{n-i} - t_{n-j}} \quad i \neq j \quad (5)$$

2) Calcul de la dérivée

$$h_{n+1} x_{n+1}' = - \sum_{i=0}^k a_i' x(t_{n+1-i}) \quad (6)$$

$$\alpha_i(n+1, k) = \frac{t_{n+1} - t_n}{t_{n+1} - t_{n+1-i}} \prod_{j=1}^k \frac{t_{n+1} - t_{n+1-j}}{t_{n+1-i} - t_{n+1-j}} \quad (7)$$

$$\alpha_0 = - \sum_{i=1}^k \alpha_i \quad i \neq j$$

3) Résolution de Newton

Le système  $f(x, x, t_{n+1})=0$  est résolu par une itération du type Newton-Raphson:

$$\Delta x^m = - \left( \frac{\partial f}{\partial x} - \frac{\alpha_0}{h_{n+1}} \frac{\partial f}{\partial x} \right)^{-1} f^m$$

$$\Delta x^m = - \frac{\alpha_0}{h_{n+1}} \Delta x^m$$

#### 4) Erreur local

Par définition nous avons:

$$E_k = h ( x(t_{n+1}) - x_{n+1} ) + o(h^{k+1})$$

avec 
$$x_{n+1} = \frac{1}{h} \sum_{i=0}^k \alpha_i x(t_{n+1-i})$$

après développement, l'erreur local devient :

$$E_k = \frac{h}{t_{n+1} - t_{n-k}} (x_{n+1} - x_{n+1}^{(P)}) \quad (8)$$

où 
$$E_k = \left( \prod_{j=1}^k \frac{t_{n+1-j} - t_{n+1}}{h} \right) \frac{h^{k+1} x^{(k+1)}(t_{n+1})}{(k+1)!} \quad (9)$$

Ces deux dernières constituent l'expression de l'erreur locale.

#### b - contrôle d'erreur:

Il faut déterminer le facteur de correction adéquat pour le pas sachant qu'il n'est pas connu au départ:

$$h_{n+1} = F_{k,n} h_n \quad (10)$$

avec 
$$F_{k,n} = \frac{h_{n+1}}{h_n} = \sqrt[k]{\frac{e(h_n)}{E_k(h_n)}} = \left( \frac{EPS h_n}{L E_k} \right)^{1/k} \quad (11)$$

c - Détermination de  $E_k$ :

La valeur de  $E_k$  est le maximum de l'erreur de troncature commise, soit:

$$E_k = \text{Max}_j (E_k^j) \quad (12)$$

$j$  désignant la  $j^{\text{me}}$  inconnue.

d - Détermination de  $F_{k,n}$ :

Il existe un pas optimal qui rend  $F_{k,n}$  maximum, celui-ci sera donné par :

$$F_{k,n} = \text{Max}_{i,n} (F_{i,n}) \quad (i=k-1, k, k+1) \quad (13)$$

Le nouveau pas sera donc:

$$h_{n+1} = F_{k,n} h_n \quad (14)$$

e - Changement de pas:

Le pas optimal est calculé à chaque intégration, ainsi il est non uniforme et adapté à chaque instant.

f - Changement d'ordre:

Le changement d'ordre n'est fait que si  $k$  pas sont effectués, ceci élimine la possibilité d'erreur très grande dans les dérivées de la variable.

g - Utilisation des relations aux différences:

L'utilisation de ces relations modifie les coefficients

$b_i$  et  $\alpha_i$ , mais les nouveaux coefficients  $\tilde{b}_i$  et  $\tilde{\alpha}_i$  sont liés d'une façon simple aux premiers.

-Détermination des  $\tilde{b}_i$ :

$$\tilde{b}_i = - \sum_{l=j+1}^{k+1} b_l \quad (j=1, \dots, k) \quad (15)$$

-Détermination des  $\tilde{\alpha}_i$ :

$$\tilde{\alpha}_j = \sum_{i=0}^j \alpha_i \quad (j=0, \dots, k-1) \quad (16)$$

$$\tilde{\alpha}_k = 0$$

Lors du calcul de  $F_{k-1, n+1}$  et  $F_{k+1, n+1}$  les valeurs  $E_{k+1}$  et  $E_{k-1}$  doivent être calculées, ce qui détermine  $x_{n+1}^{(P)}(k-1)$  et  $x_{n+1}^{(P)}(k+1)$ .

Ces valeurs prédites constituent les valeurs de démarrage de la méthode de Gear, elles sont obtenues en résolvant le système (1) par la méthode de Crank-Nicholson [ 6 ].

### III - 2 - 2. Démarrage de la méthode de Gear généralisée:

Algorithme de Crank-Nicholson:

Cet algorithme permet d'intégrer le système (1) de  $t_0$  à  $t_f$ :



$$R = I - \frac{h}{2} A + \frac{h^2}{4} A^2 - \frac{h^3}{12} A^3$$

$$S = I + \frac{h}{2} A + \frac{h^2}{4} A^2 + \frac{h^3}{12} A^3$$

$$T = I + \frac{h}{2} A + \frac{h^2}{6} A^2 + \frac{h^3}{24} A^3$$

$$V = I - \frac{h}{2} A + \frac{h^2}{6} A^2 - \frac{h^3}{24} A^3$$

$$W = I + \frac{h}{3} A + \frac{h^2}{12} A^2$$

$$X = I - \frac{h}{3} A + \frac{h^2}{12} A^2$$

$$Y = I + \frac{h}{4} A$$

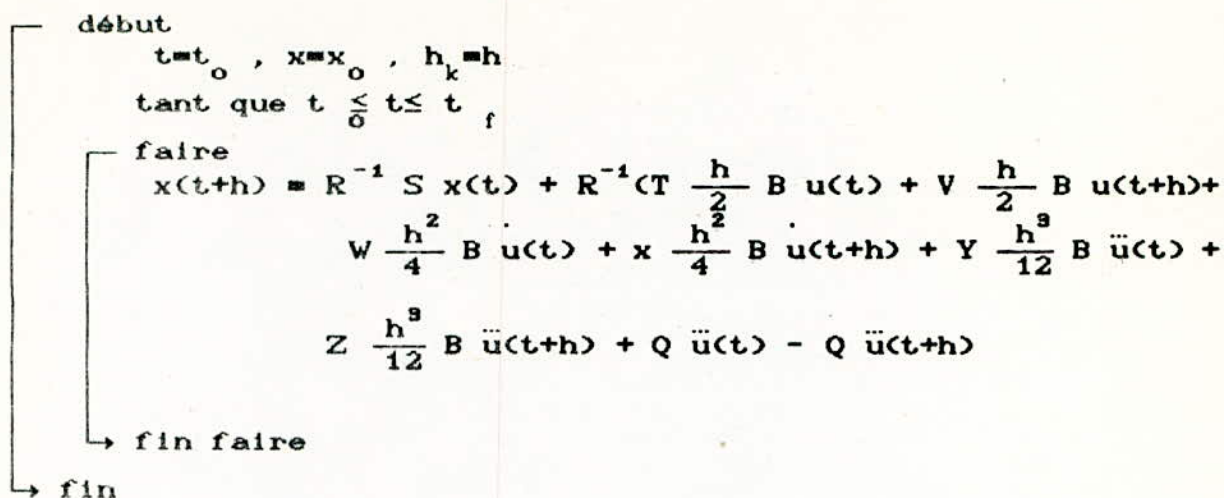
$$Z = I - \frac{h}{4} A$$

$$Q = \frac{h^4}{48} B$$

- Calcul des valeurs propres  $\lambda$
- Calcul du pas d'intégration

$$h = \frac{1}{2 \lambda_{\max}}, \text{ si } h > 0.1 \text{ alors } h = 0.1$$

- Calcul des dérivées première, deuxième, et troisième de  $u(t)$ .



### Algorithme de la méthode de Gear généralisée:

Nous allons décrire les étapes de l'algorithme de la méthode.

Nous sommes à l'instant  $t = t_n$ , nous avons :

$$\Delta x = (\Delta x_n, \Delta x_{n-1}, \dots, \Delta x_{n-k})$$

Le pas est  $h_n$  et nous voulons passer à  $h_{n+1}$

- 1) a) calculer  $b_i(k, n+1)$  suivant (5)
- b) déduire  $\tilde{b}_i(k, n+1)$  suivant (15)

c) calculer  $x_{n+1}^{(P)} = x_n + \sum_{i=1}^k \tilde{b}_i \Delta x_{n-i}$

- 2) a) calculer  $\alpha_i(k, n+1)$  suivant (7)
- b) déduire  $\tilde{\alpha}_i(k, n+1)$  suivant (16)

c) calculer  $h_n \dot{x}_{n+1} = - \sum_{i=0}^{k-1} \tilde{\alpha}_i \Delta x_{n-i}$

- 3) Résoudre suivant Newton-Raphson  $f(x_{n+1}, \dot{x}_{n+1}, x_{n+1}, t_{n+1}) = 0$

en prenant comme point de départ  $(x_{n+1}^{(P)})$  et  $(x_{n+1}^{(P)})$

$$\Delta x^m = - \left[ \frac{\partial f}{\partial x} - \frac{\tilde{\alpha}_n}{h_n \frac{\partial f}{\partial x}} \right]^{-1} f^m$$

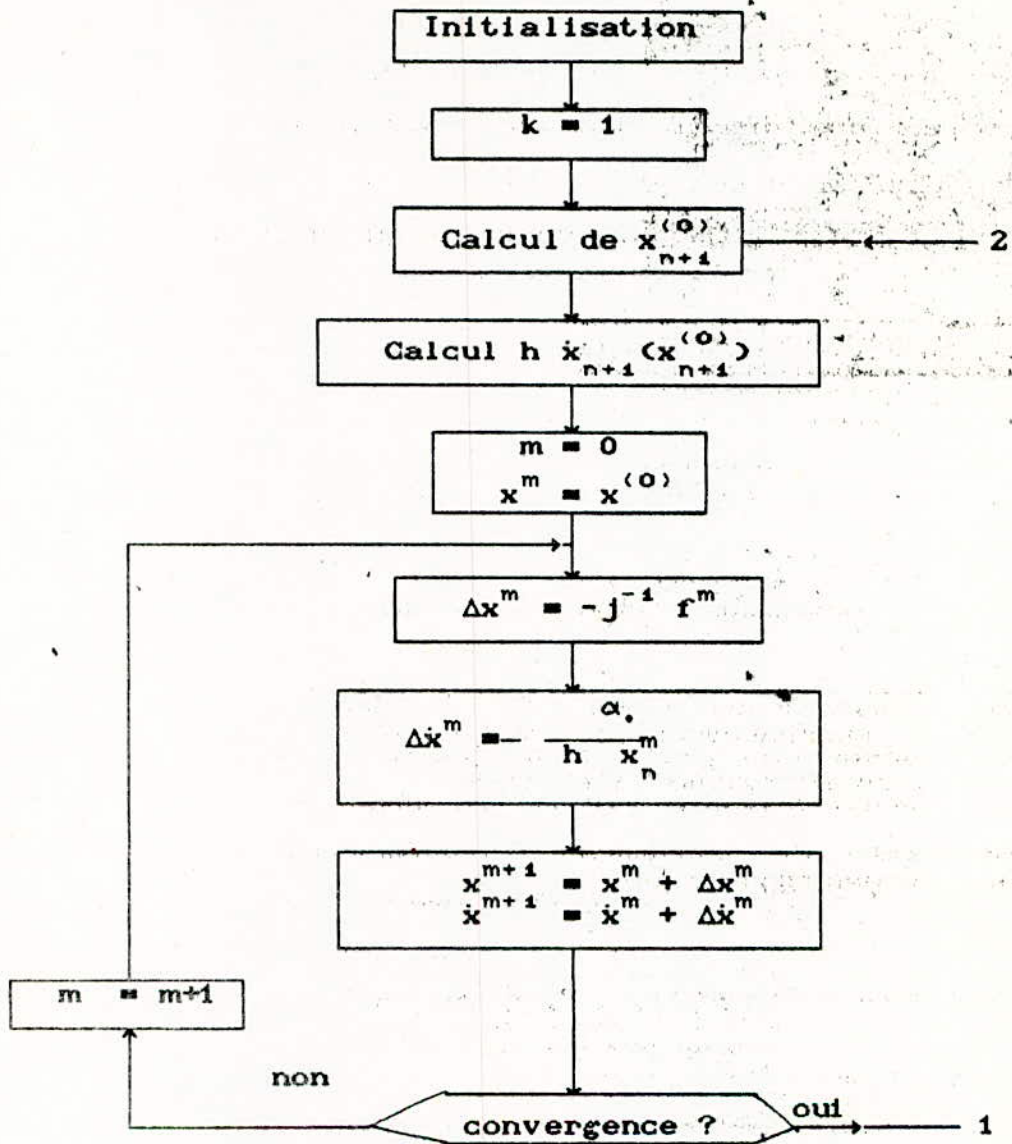
$$\Delta \dot{x}^m = - \frac{\tilde{\alpha}_n}{h_n \Delta x^m}$$

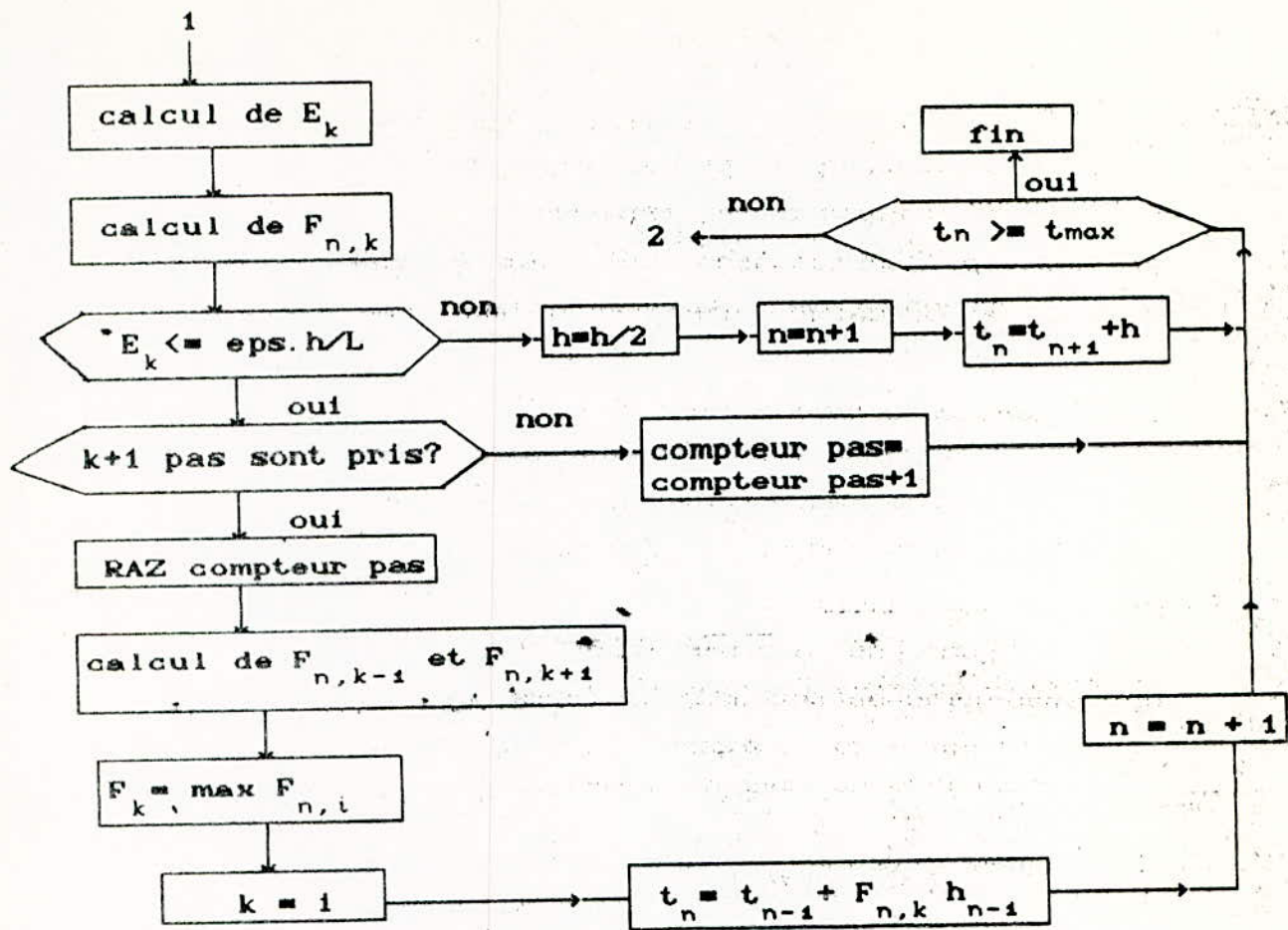
- 4) a) Calculer  $E_k$  suivant (8) en prenant  $x_{n+1}$  comme solution de Newton-Raphson.  
 b) Calculer  $F_{k,n+1}$  suivant (11).  
 c) Si  $k+1$  pas sont pris, calculer  $F_{k-1,n+1}$  et  $F_{k+1,n+1}$   
 d)  $F_{k,n+1} = \max_i (F_{i,n+1}) \quad i=k-1, k, k+1$   
 e)  $h_{n+1} = F_{k,n+1} h_n$

### III - 2 - A. Conclusion:

L'algorithme ainsi décrit est déduit à partir de la théorie de polynômes d'interpolation, il est très rapide et permet de résoudre efficacement un système algèbro-différentiel quelconque.

Organigramme:





### III - 3. Synthèse [ 7 ], [ 8 ]

Le but de l'automatique est de réaliser la commande des systèmes. Commander un système consiste à agir sur les variables d'entrée de telle sorte que le système réalise le but assigné qui, dans le cas général, pourra se formuler sous la forme d'un certain critère à optimiser.

Dans le cadre de notre étude, nous avons utilisé le critère quadratique. IL permet d'exprimer de manière convenable les qualités globales recherchées pour la commande.

Celles-ci peuvent en fait se résumer, le plus généralement, par la détermination d'une commande assurant le meilleur compromis entre certaines performances ( stabilité, précision, énergie appliquée au système...) représentées par des termes de pondération faisant intervenir, les sorties ou les variables d'état. Cette méthode a aussi l'avantage de se prêter à des développements mathématiques nombreux et puissants et correspond à une réalité physique certaine.

Le critère quadratique peut être considéré comme un simple outil mathématique, un moyen élégant pour parvenir à la forme de commande souhaitée.

#### III - 3 - 1. Principe de la méthode

Soit le système décrit par l'équation d'état:

$$X = A X + B U \quad (1,1)$$

le problème est de trouver une commande qui minimise le critère quadratique suivant:

$$J(x,u) = \int_0^{\infty} (x^T(t) Q x(t) + u^T(t) R u(t)) dt \quad (1,2)$$

où  $Q$  et  $R$  sont des matrices symétriques respectivement semi-définie positive et définie positive.

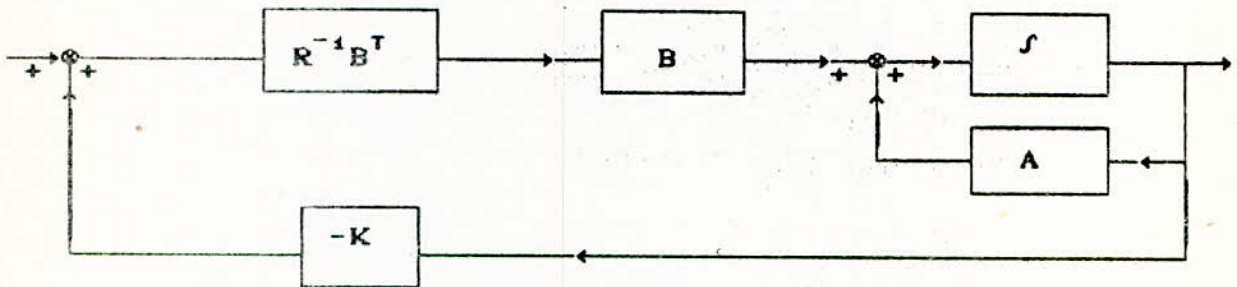
La commande par retour d'état linéaire minimisant le critère  $J$  est donnée par:

$$u = -R^{-1} B^T P x, \quad (1,3)$$

avec  $P$  satisfaisant l'équation algébrique de Riccati

$$P A + A^T P - P B R^{-1} B^T P = 0 \quad (1,4)$$

Le schéma fonctionnel est alors:



Les équations (1,1) et (1,2) reprises avec l'expression (1,4) entraînent:

$$\dot{x}(t) = (A - B R^{-1} B^T P) x(t) = \tilde{A} x(t) \quad (1,5)$$

et

$$J = \int_{t_0}^{\infty} x^T (Q + P B R^{-1} B^T P) x dt \quad (1,6)$$

L'équation (1,4) peut s'écrire :

$$PA + A^T P - PBR^{-1}B^T P + Q - PBR^{-1}B^T P + PBR^{-1}B^T P = 0$$

d'où

$$(A^T - PBR^{-1}B^T P)P + P(A - BR^{-1}B^T P) = -Q - PBR^{-1}B^T P$$

ou encore

$$\tilde{A}^T P + P \tilde{A} = -\tilde{Q}$$

Soit la fonction de Lyapounov  $V(x)$  définie par:

$$V(x) = x^T P x \tag{1,7}$$

$$V(x) = -x^T \tilde{Q} x \tag{1,8}$$

Le critère quadratique s'écrit donc:

$$J = \int_{t_0}^{\infty} x^T \tilde{Q} x dt = - \int_{t_0}^{\infty} \dot{V}(x) dt$$

nous obtenons:

$$J = -V(x(\infty)) + V(x(t_0))$$

Dans le cas où le système est stable

$$V(x(\infty)) = 0$$

d'où

$$J(x, u) = V(x(t_0))$$

(1,7) devient alors:

$$J = x^T(t_0) P x(t_0)$$

C'est la valeur optimale du critère quadratique relatif au problème défini par les équations (1,1) et (1,2).



### III - 3 - 2. Commande sous-optimale

Dans le cas où le système peut être décomposé en sous-systèmes, on peut calculer la loi de commande associée au sous-système commandable et sera utilisée comme loi de commande sous-optimale du système réel.

On définit alors un modèle réduit et un critère quadratique équivalent au critère initial.

Soit le modèle réduit du système (1,1)

$$\begin{aligned} \dot{x}_r &= A_r x_r + B_r u \\ \hat{y} &= C_r x_r \end{aligned} \quad x_r \in \mathbb{R}^m \quad m < n$$

tel que l'état  $x_r(t)$  est relié à l'état  $x(t)$  quelque soit  $u(t)$  par une relation suffisamment précise.

$$x_r(t) \simeq \phi x(t) \quad (1,9)$$

Au modèle (1,4) on associe le critère de performance  $J_r$ :

$$J_r = \int_0^{\infty} (x_r^T(t) Q_r x_r(t) + u^T(t) R u(t)) dt \quad (1,10)$$

et la commande optimale au sens de  $J_r$  :

$$u_r = k_r x_r(t) = -R^{-1} B_r^T P_r x_r(t) \quad (1,11)$$

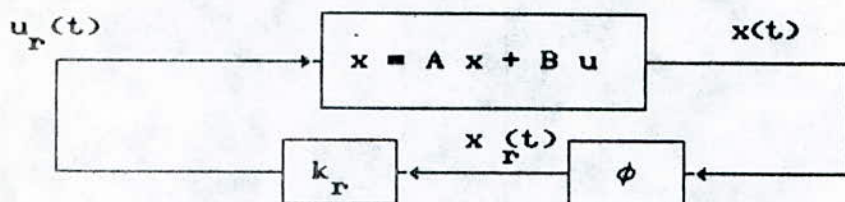
où  $P_r$  est la solution de l'équation de Riccati d'ordre  $m$

$$P_r A_r + A_r^T P_r - P_r B_r R^{-1} B_r^T P_r + Q = 0 \quad (1,12)$$

compte tenu de (1,9)  $u_r(t)$  s'écrit:

$$u_r(t) \simeq -R^{-1}B_r^T P_r \phi x(t)$$

$u_r$  représente la commande sous-optimale du système (1,1).



### III - 3 - 3. Stabilité du système en boucle fermée

L'équation du système en boucle fermée auquel on applique la commande sous-optimale s'écrit:

$$\dot{x}(t) = A x(t) - B k_r \phi(x)$$

$$\phi(x) = Lx(t)$$

$$\dot{x}(t) = A x(t) - B k_r Lx(t)$$

$$\dot{x}(t) = (A - B k_r L)x(t)$$

Le système bouclé est donc stable si les valeurs propres de la matrice  $(A - B k_r L)$  sont toutes à parties réelles négatives.

### III - 3 - 4. Méthode de résolution

Nous venons de voir que la résolution de l'équation de Riccati est nécessaire à la détermination des éléments de la structure de commande. Rappelons cette équation:

$$PA + A^T P - PBR^{-1}B^T P + Q = 0$$

où

$$R^T = R, \quad R > 0$$

$$Q^T = Q, \quad Q \geq 0$$

L'équation est non linéaire en P et, en supposant que la paire (A,B) est commandable, on peut trouver une solution (unique si la paire (A, Q<sup>1/2</sup>) est observable).

### III - 3 - 5. Résolution de l'équation de Riccati par la méthode de Newton - Raphson

Cette méthode est basée sur la linéarisation de cette équation donnant un schéma itératif de résolution, et nécessite la résolution d'une équation de Lyapounov s'exprimant par la formule suivante:

$$A^T P + PA = -Q \quad (1,13)$$

La résolution de l'équation matricielle non linéaire (1,4) est effectuée sur la base de la linéarisation de l'équation:

$$H(P) = A^T P + PA - PBR^{-1}B^T P + Q \quad (1,14)$$

Supposant qu'à l'étape k, la solution P<sub>k</sub> trouvée est peu différente de la solution P<sub>k+1</sub>.

$$P_{k+1} = P_k + V_k \quad \text{avec} \quad H(P_{k+1}) = 0$$

Approximant H(P<sub>k+1</sub>) autour de P<sub>k</sub> et négligeant les termes quadratiques en V<sub>k</sub>, nous obtenons:

$$Q + P_k B R^{-1} B^T P_k + P_{k+1} A_k + A_k P_{k+1}^T = 0 \quad (1,15)$$

ou sous une autre forme:

$$Q + L_k^T R L_k + P_{k+1} A_k + A_k^T P_{k+1} = 0 \quad (1,16)$$

avec

$$\left. \begin{aligned} L_k &= R^{-1} B^T P_k \\ A_k &= A - B L_k \end{aligned} \right\} \quad (1,17)$$

Les équations (1,15), (1,16) et (1,17) donnent l'algorithme suivant:

- a) Choisir  $L_0$  de façon que  $A_0 = A - B L_0$  soit asymptotiquement stable (assurant la convergence de la méthode itérative).
- b) Les itérations  $P_{k+1}$  s'obtiennent de la résolution de l'équation de Lyapounov suivante:

$$P_{k+1} A_k + A_k^T P_{k+1} = - Q_k \quad (1,18)$$

avec

$$\left. \begin{aligned} A_k &= A - B L_k \\ Q_k &= Q + L_k^T R L_k \end{aligned} \right\} \quad (1,19)$$

- c) La solution  $P$  de l'équation (1,3) est obtenue par la répétition du point (b) tout en faisant la différence entre  $P_{k+1}$  et  $P_k$  jusqu'à l'obtention de la précision voulue, soit

$$\| P_{k+1} - P_k \| < \varepsilon$$

- Résolution de l'équation matricielle de Lyapounov

La méthode de résolution consiste à convertir le système (1,13) en un système linéaire d'ordre  $M$  ( $M=N(N+1)/2$ ) mettant à profit la symétrie de  $P$ .

$$U P_v = R_v$$

où  $P_v$  est un vecteur de dimension  $M$  constitué des lignes supérieures de  $P$ .

Les éléments de la matrice  $u$  sont obtenus à partir de la matrice  $A$  par les formules de recurrences données dans les trois

étapes suivantes:

- Première étape

Construction de la matrice dynamique  $L(N \times N)$  des indices donnant les éléments  $u_{ij}$

- Deuxième étape

Construction de la matrice  $V(M \times M)$  à partir de la matrice  $A$ , soit:

$$V_{nm} = A_{ij}$$

où les indices  $m$  et  $n$  sont donnés par la matrice auxiliaire  $L$ :

$$\begin{aligned} n &= L_{ik} \\ m &= L_{jk} \end{aligned} \quad i, j, k = 1, 2, \dots, N$$

- Troisième étape

La matrice  $u$  est obtenue par la multiplication par 2 de tous les éléments de lignes de  $V$  dont les indices correspondent aux éléments diagonaux de  $L$ .

### III - 3 - 6. Algorithme de Kleiman

Cet algorithme est utilisé pour déterminer la solution de l'équation de Riccati. La méthode se base sur des itérations successives jusqu'à la convergence de la solution. A chaque étape l'équation itérative de Riccati est transformée en une équation de Lyapounov qui sera résolu par l'algorithme de Bingulac.

Soit  $V_k$  ( $k=0,1,2,\dots$ ) l'unique solution définie positive de l'équation algébrique linéaire:

$$0 = A_k^T V_k + V_k A_k + Q_k + L_k^T R L_k$$

avec

$$Q_0 > 0$$

$$L_k = R^{-1} B^T V_{k-1} \quad k = 1, 2, \dots$$

$$A_k = A - B L_k$$

où  $L_0$  est choisie telle que  $A_0 = A - B L_0$  possède les valeurs propres à parties réelles négatives.

Donc 1)  $k \leq V_{k+1} \leq V_k \leq \dots \quad k = 0, 1, \dots$

2)  $\lim_{k \rightarrow \infty} V_k = k$

ou  $k$  est la solution exacte de l'équation

$$0 = KA + A^T K + Q_0 + KBR^{-1}B^T K$$

1- Initialiser  $A_0 = A$  (A stable)

2- Résolution de  $A_0^T V_0 + V_0 A_0 = -Q_0$

3- Former  $L_k, A_k \quad k = 1, 2, \dots$

4- Former  $Q = Q_0 + L_k^T R L_k$

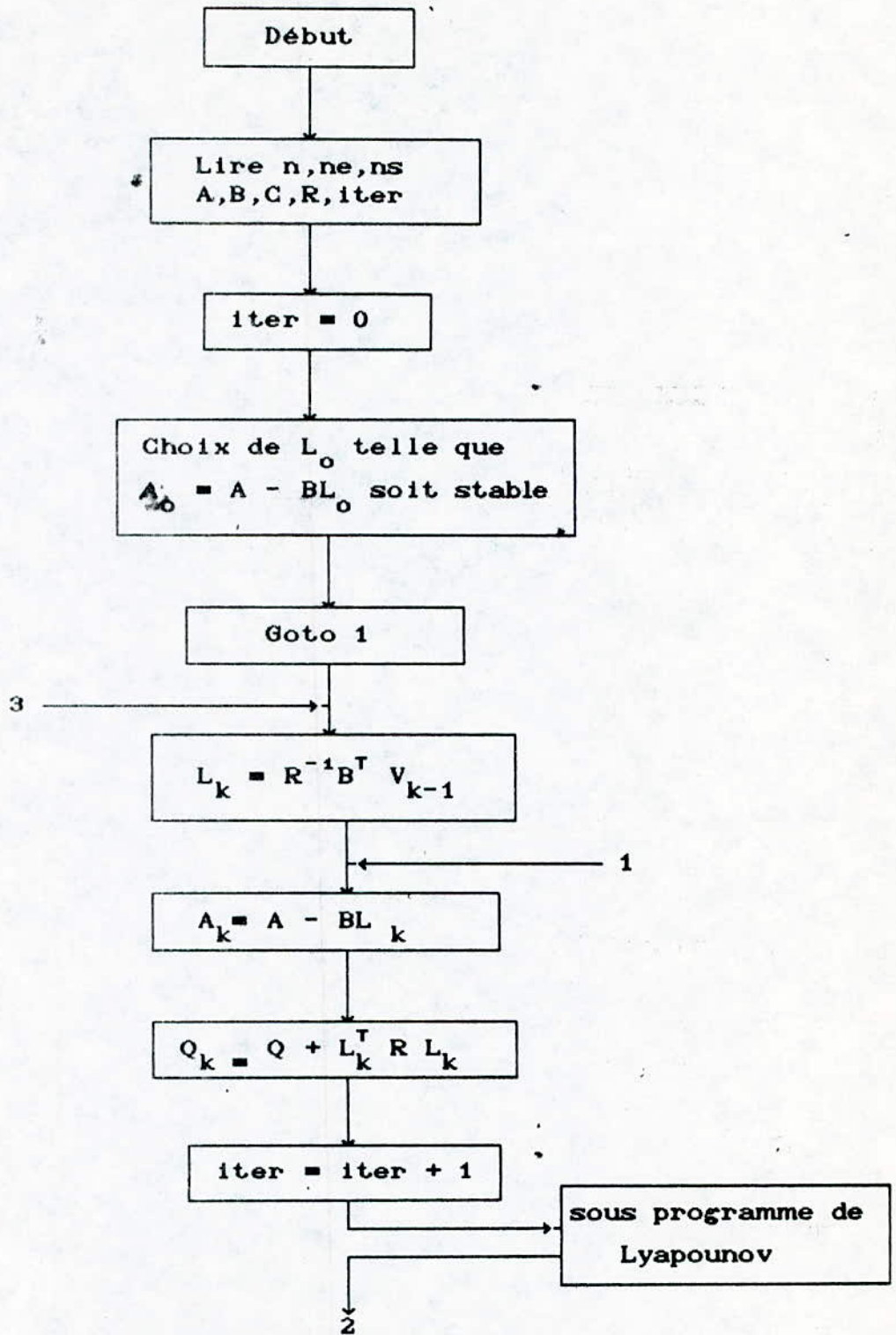
5- Résolution de  $A_k^T V_k + V_k A_k + Q = 0$

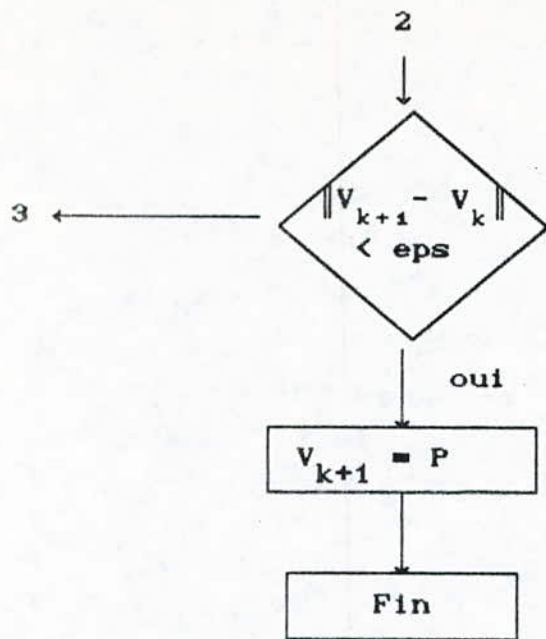
6- Evaluer la norme de  $\| V_{k+1} - V_k \| = E$

\*- si  $E \leq \epsilon$  afficher  $V_{k+1}$

\*- sinon retour en 3

III - 3 - 7. Organigramme de la résolution de l'équation de Riccati







## CHAPITRE IV

### EXEMPLES D'APPLICATION

Exemple 1:

L'ordre de la matrice A est:2  
L'ordre de la matrice B est:1  
L'ordre de la matrice C est:1  
L'horizon de simulation (ti,tf):0,10  
Introduire les données dans l'ordre suivant:A,B,C,Xi,Yi

la matrice A:

0 1  
-2 -1

la matrice B:

0 1

la matrice C:

1 1

les conditions initiales:

0 0

0

0

Analyse:

Les valeurs propres en boucle ouverte sont:

-1+j-1 322875618934631  
-1-j-1 322875618934631

Le système est stable  
Le système est commandable  
Le système est observable

Synthèse:

La matrice gain est:

-8.198030101196289 -9.834946632385254

La matrice A en boucle fermée est:

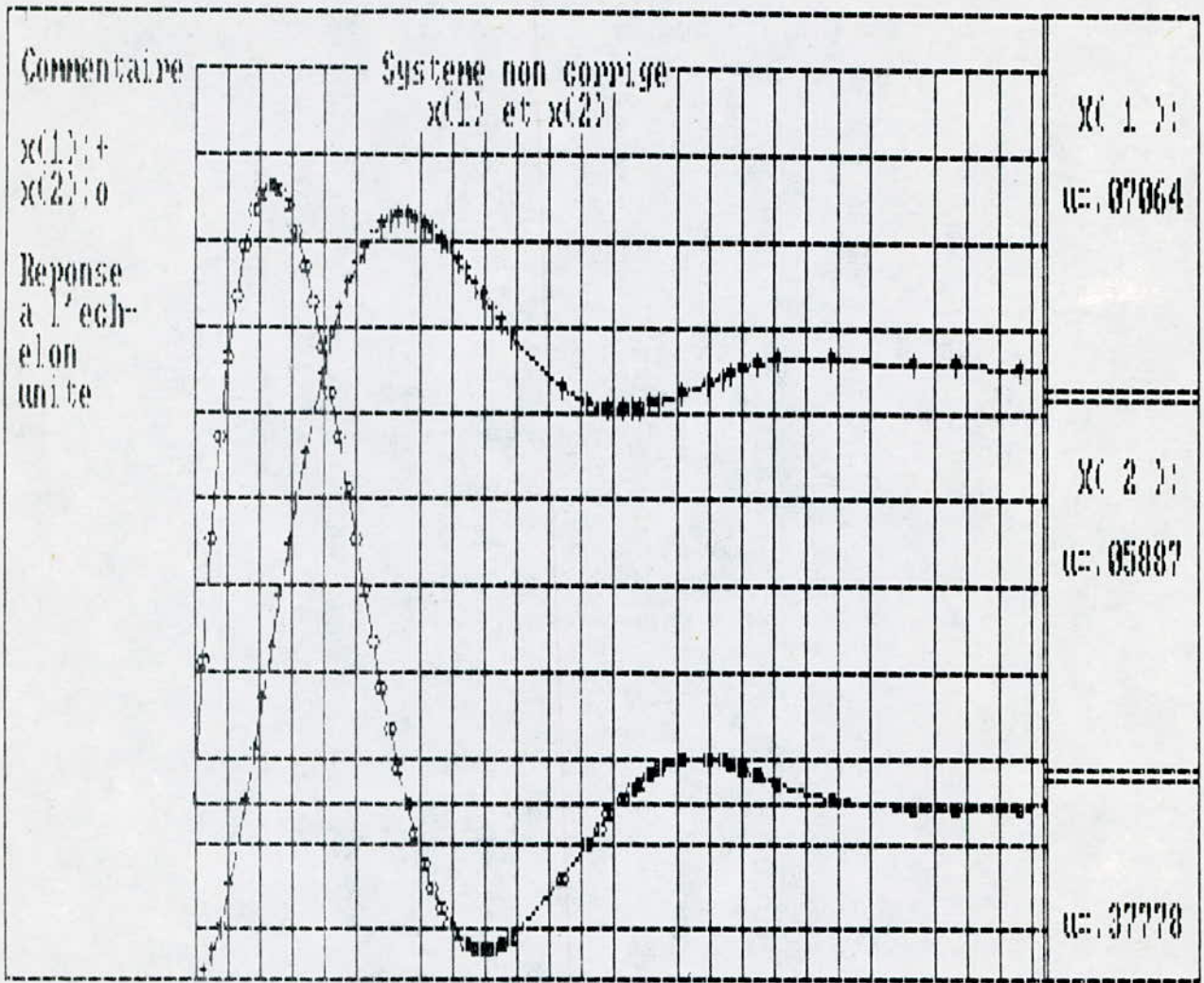
0 1  
-10.19803010119629 -10.83494663238525

Les valeurs propres en boucle fermée sont:

-1.041290183203125+j 0  
-1.041290183203125-j 0

Le coût optimal est:  
0

Nombre d'itérations= 8  
La convergence= 0  
La matrice R=0.1



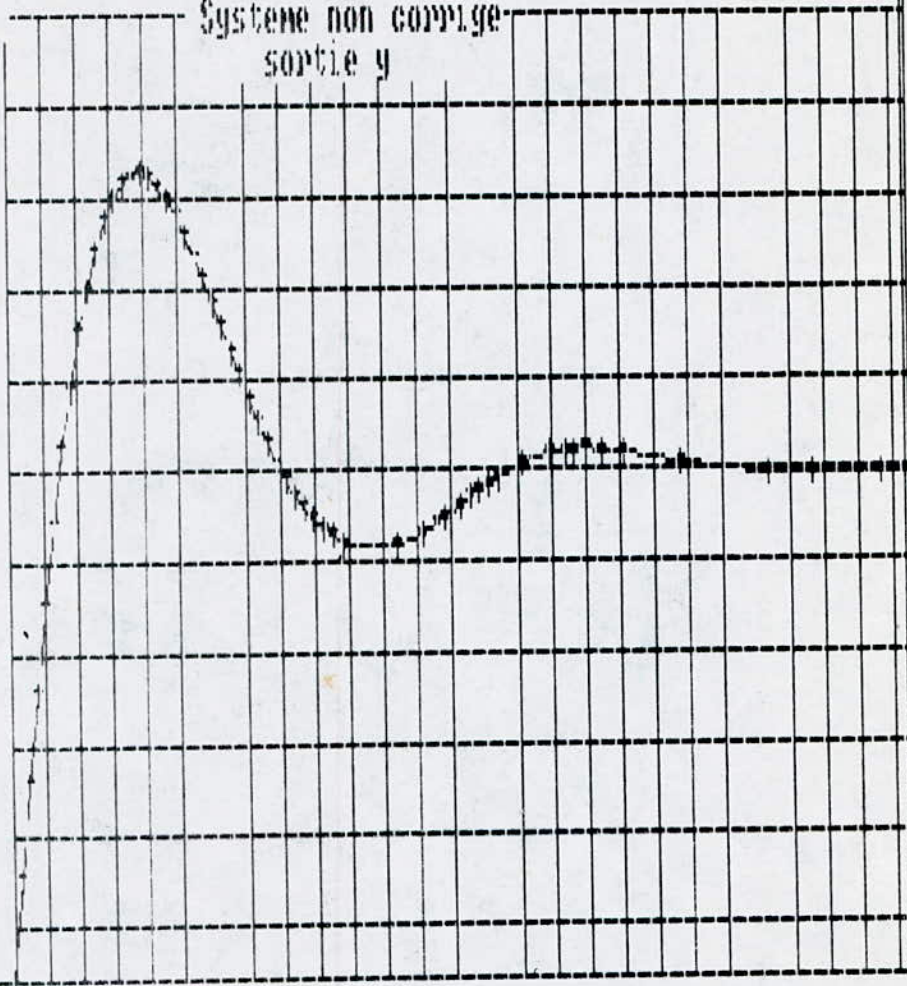
Commentaire

Systeme non corrigé  
sortie y

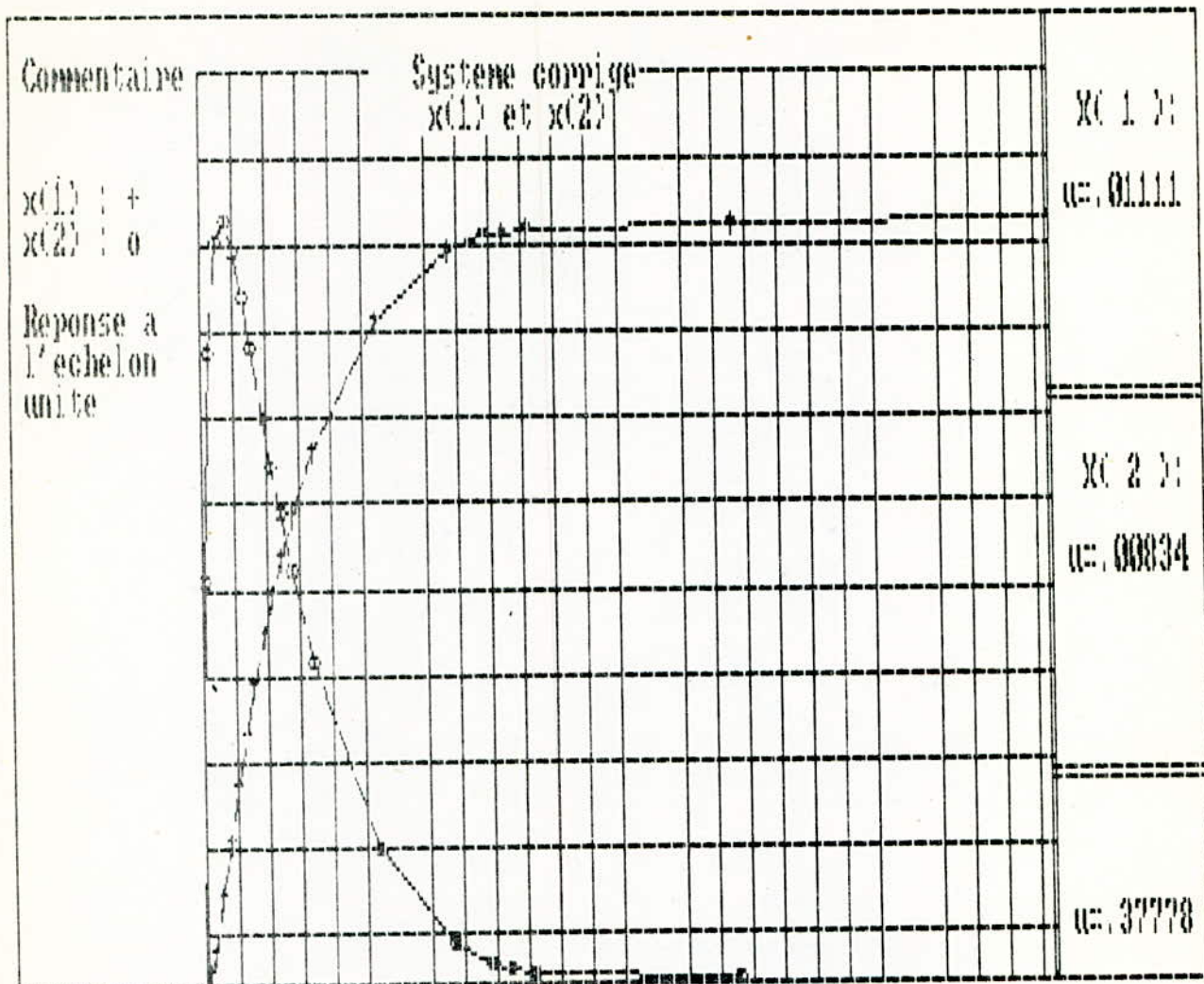
X(3) :

$\omega = 0.09085$

Reponse  
a l'echelon  
unite



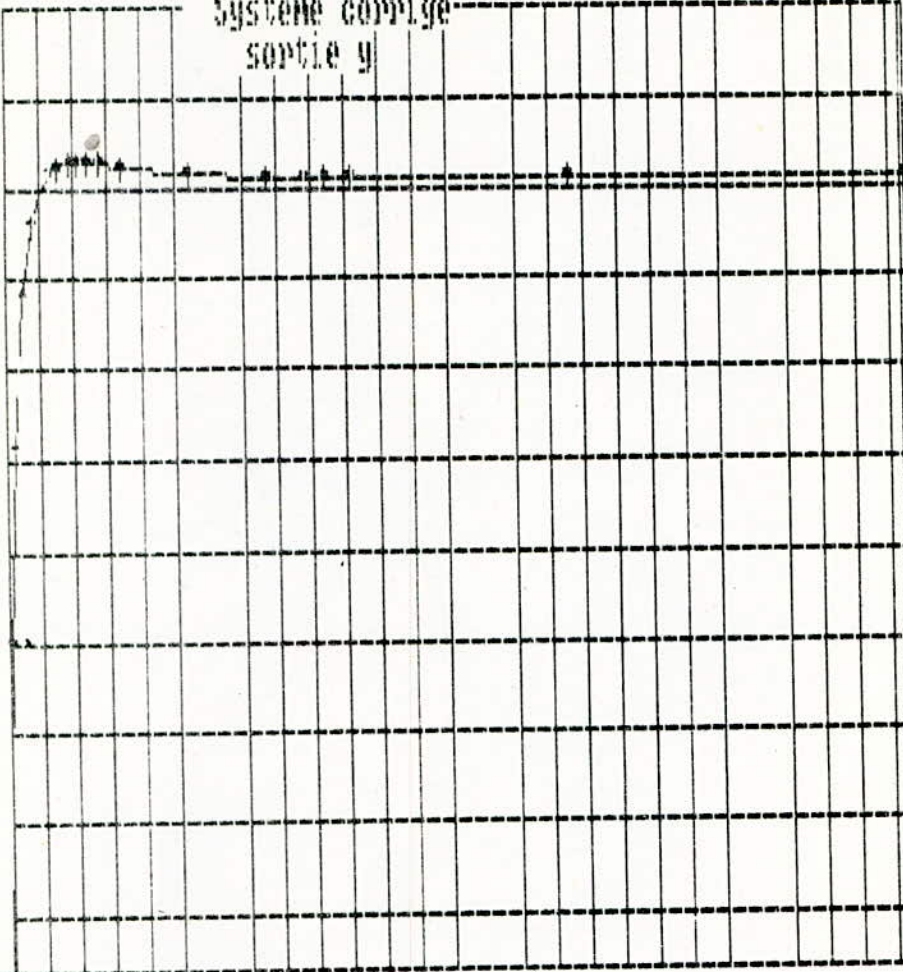
$\omega = 3.7778$



Commentaire

Systeme corrigé  
sortie y

Reponse a  
l'echelon  
unite



X(3) :

w = 0.131

w = 37778

Exemple 2: [9]

L'ordre de la matrice A est:5

L'ordre de la matrice B est:1

L'ordre de la matrice C est:1

L'horizon de simulation (ti,tf):0 2

Introduire les donnees dans l'ordre suivant:A,B,C,Xi,Yi

la matrice A:

120	0.007	0.71	-2025	-20250
71.5	0.087	0	0	0
88.5	0	-0.71	0	0
0.037	0	0	-0.186	0.186
0	0	0	0.385	-12.085

la matrice B:

875  
0  
0  
0  
0

la matrice C:

1  
0  
0  
0  
0

les conditions initiales:

-270 -221097.7 -33254.9 -52.7 1.88  
0

Analyse:

Les valeurs propres en boucle ouverte sont:

-159.9767303466797+j 0  
-11.00512893676758+j 0  
-5425007939338684+j -4268013536930084  
-5425007939338684+j -4268013536930084  
-8.113475143909454E-002+j 0

Le systeme est stable  
Le systeme est commandable  
Le systeme est observable

Synthese:

La matrice gain est:

```
2.934112671990967 -1.014381487038918E-0
0a -7.459780295549333E-004 2.45758008956
9092 27.57451438903809
```

La matrice A en boucle fermée est:

```
-2140.525634765625 1.578601449728012E-002
7.192632291793823E-002 -366.05078125 -16
17.1892453125
71.5 -8.699999749660492E-002 0 0 0
88.5 0 -7099999785423279 0 0
3.7000000047683716E-002 0 0 -186000000
44107437 1860000044107437
0 0 0 3849999904632568 -12.0850000
3814697
```

Les valeurs propres en boucle fermée sont:

```
-2140.522216796875+j 0
-12.09009838104248+j 0
-1872281432151794+j 0
-7069852948188782+j 0
-8.65083634853363E-002+j 0
```

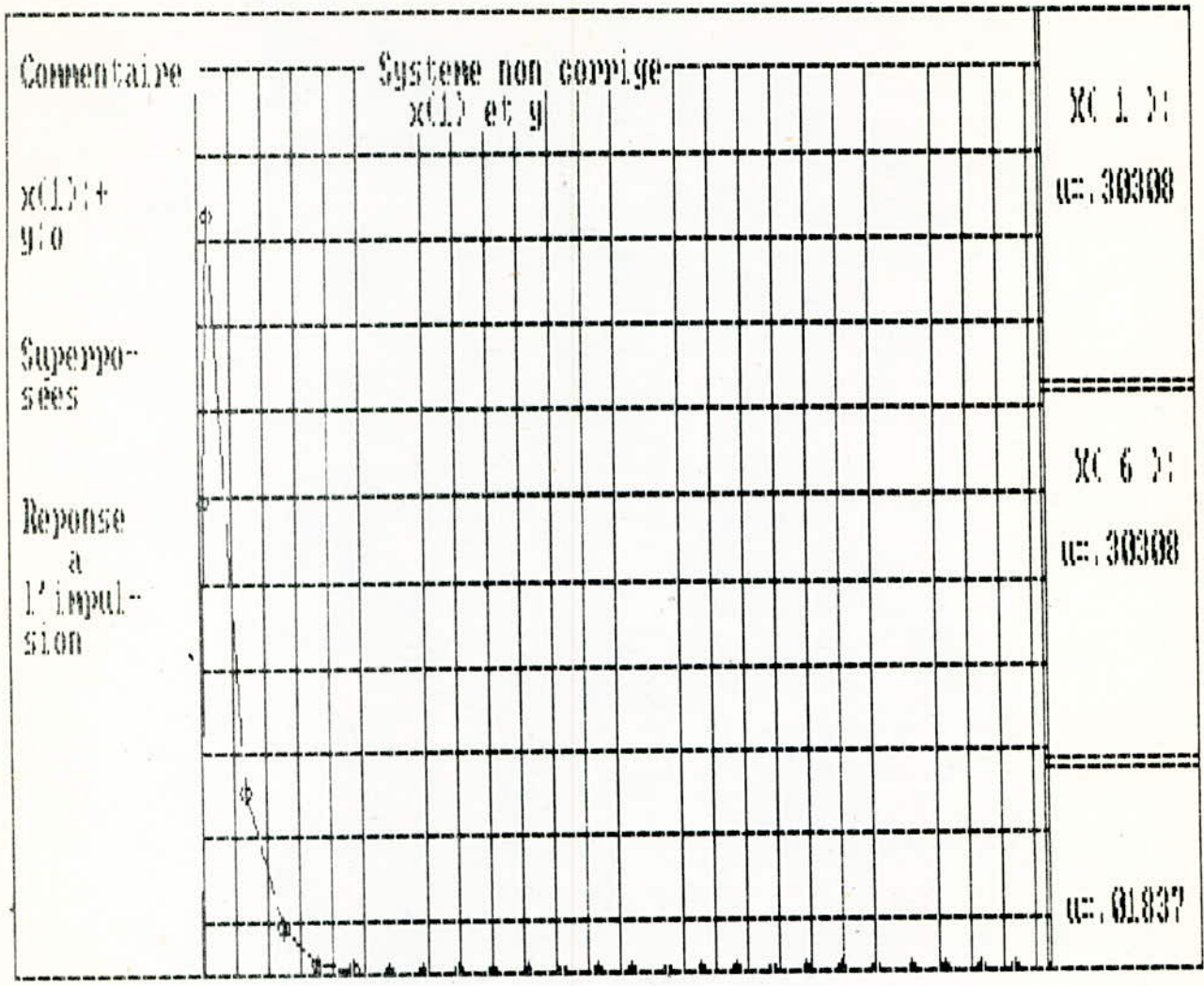
Le coût optimal est:  
0

Nombre d'iterations= 20

La convergence= 8.768204133957624E-005

La matrice R=0



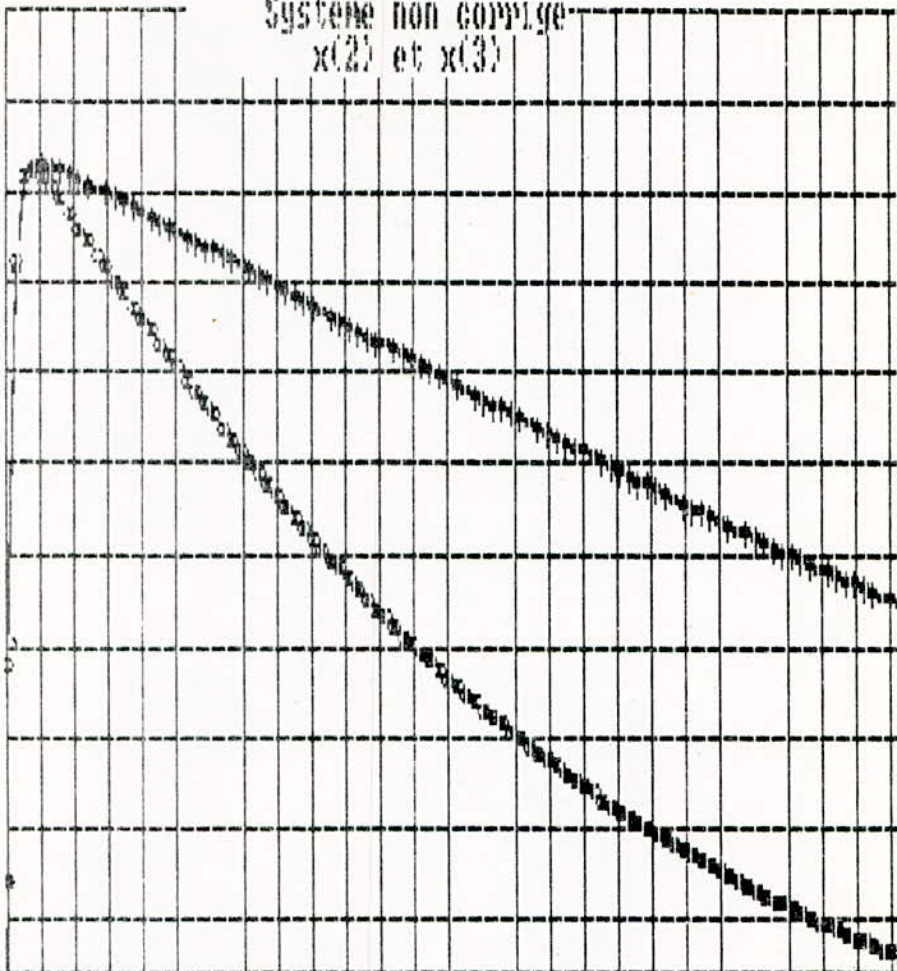


Commentaire

Systeme non corrigé  
x(2) et x(3)

x(2): +  
x(3): 0

Reponse  
a  
l'impul-  
sion



x( 2 ):

$\alpha = .21030$

x( 3 ):

$\alpha = .25064$

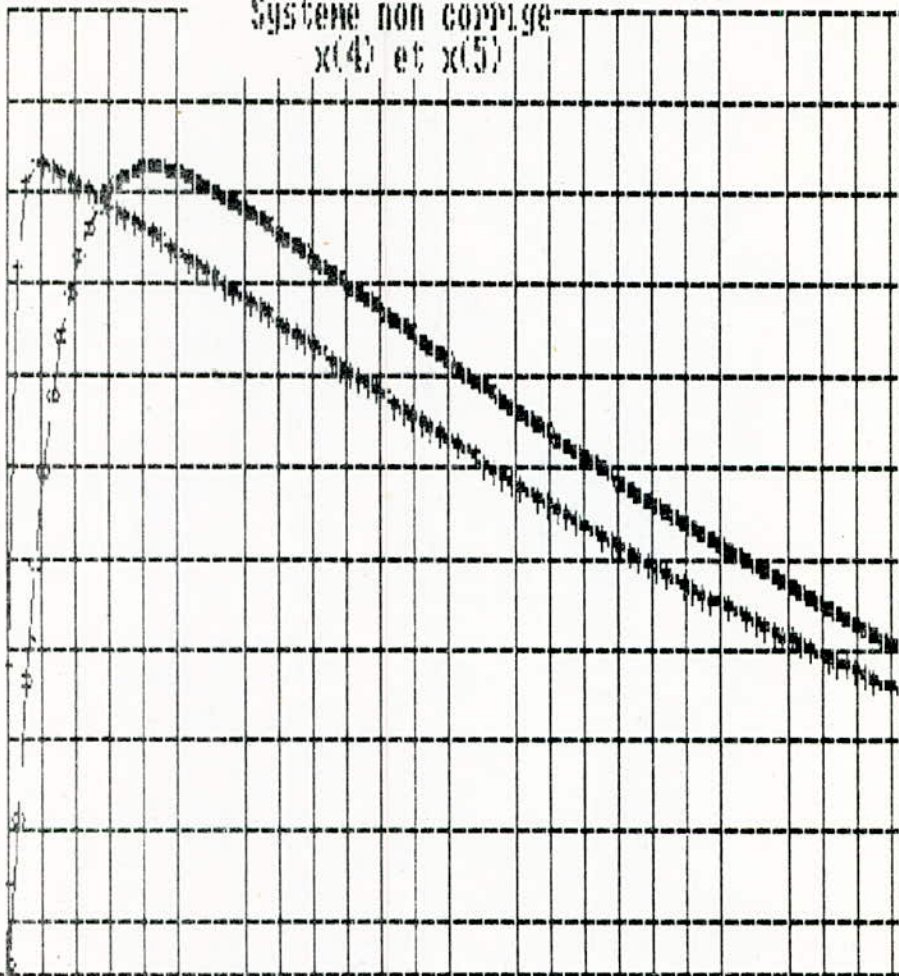
$\alpha = .07556$

Commentaire

Systeme non corrige  
 $x(4)$  et  $x(5)$

$x(4): +$   
 $x(5): 0$

Reponse  
a  
l'impul-  
sion



$x(4):$

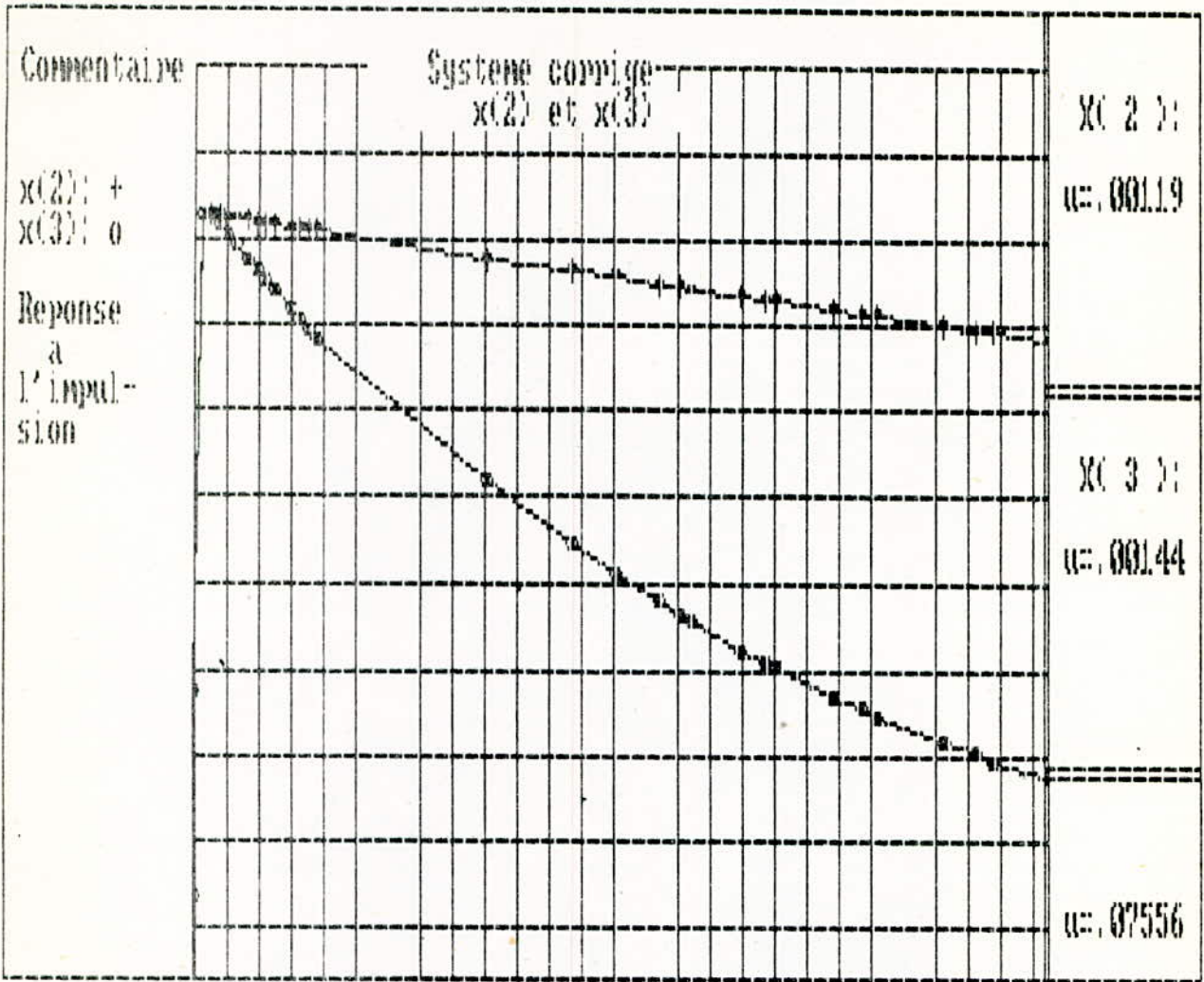
$u: .00011$

$x(5):$

$u: .000001$

$u: .07556$

Commentaire	Systeme corrigé $x(t)$ et $y$	$X(1)$ :
$x(t) = +$ $y = 0$		$u = 0.02260$
Reponse à l'impul- sion		$X(6)$ :
		$u = 0.02260$
		$u = 0.01095$

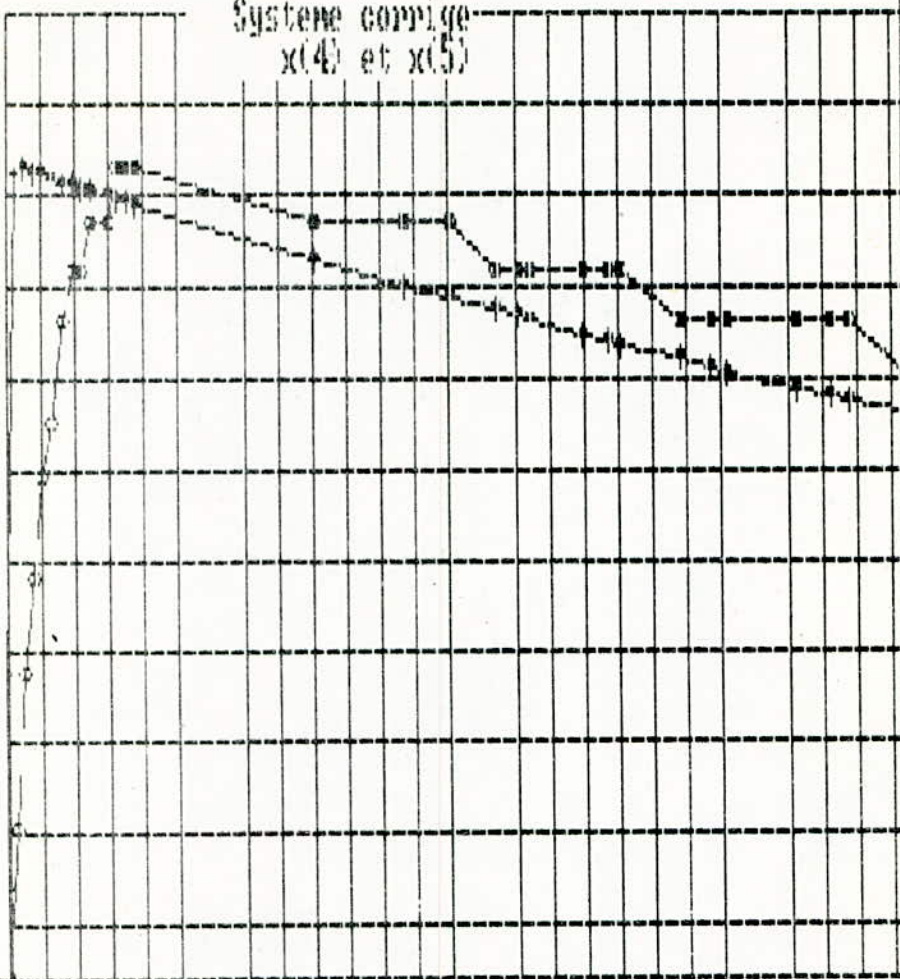


Commentaire

$x(4) = +$   
 $x(5) = 0$

Reponse  
à  
l'impul-  
sion

Systeme corrigé  
 $x(4)$  et  $x(5)$



$x(4) :$

$u = 0.000004$

$x(5) :$

$u = 0.000001$

$u = 0.07556$

Exemple :

L'ordre de la matrice A est:2  
L'ordre de la matrice B est:1  
L'ordre de la matrice C est:1  
L'horizon de simulation (ti,tf):0,10  
Introduire les données dans l'ordre suivant:A,B,C,Xi,Yi

La matrice A:

0 1  
-20 -1

La matrice B:

1  
0

La matrice C:

1  
0

les conditions initiales:

0 0  
0

Analyse:

Les valeurs propres en boucle ouverte sont:

-5.01-4.44409704208374j  
-5.01+4.44409704208374j

Le système est stable  
Le système est commandable  
Le système est observable

Synthèse:

La matrice gain est:

-31.0436241149902 -1.6883893013000488

La matrice A en boucle fermée est:

-0.0432004089355 3116101026535034  
-20 -1

Les valeurs propres en boucle fermée sont:

-20.97646713256836+j 0  
-20.97646713256836-j 0

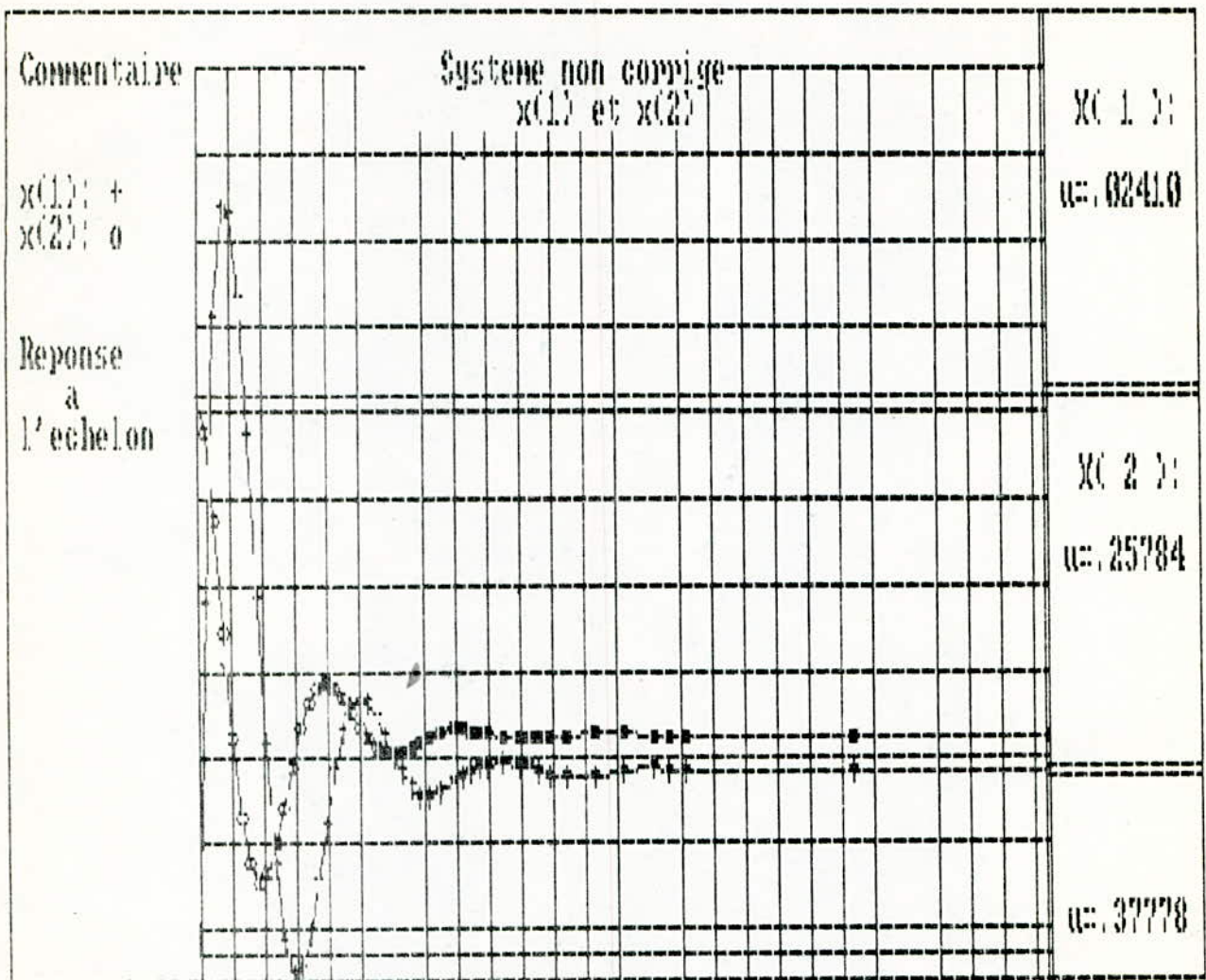
Le coût optimal est:

0

Nombre d'itérations: 8

La convergence: 8.032657206058502E-009

La matrice R:0.001





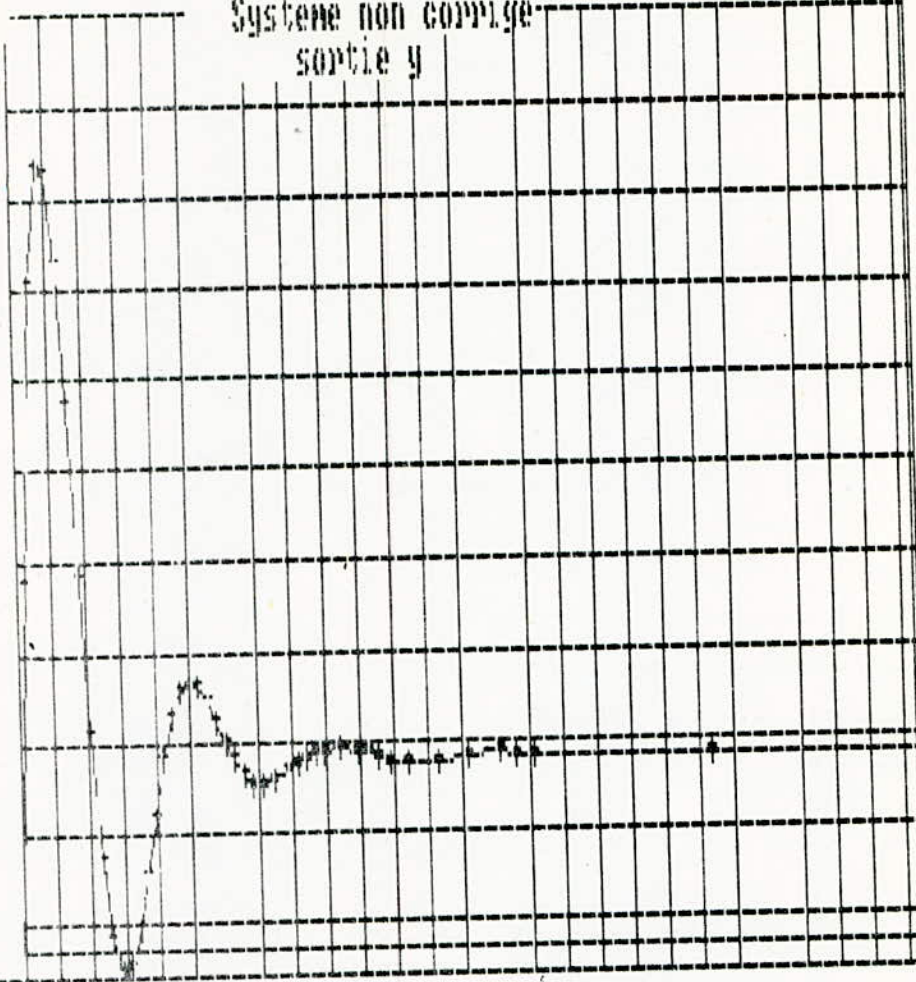
Commentaire

Système non corrigé  
sortie y

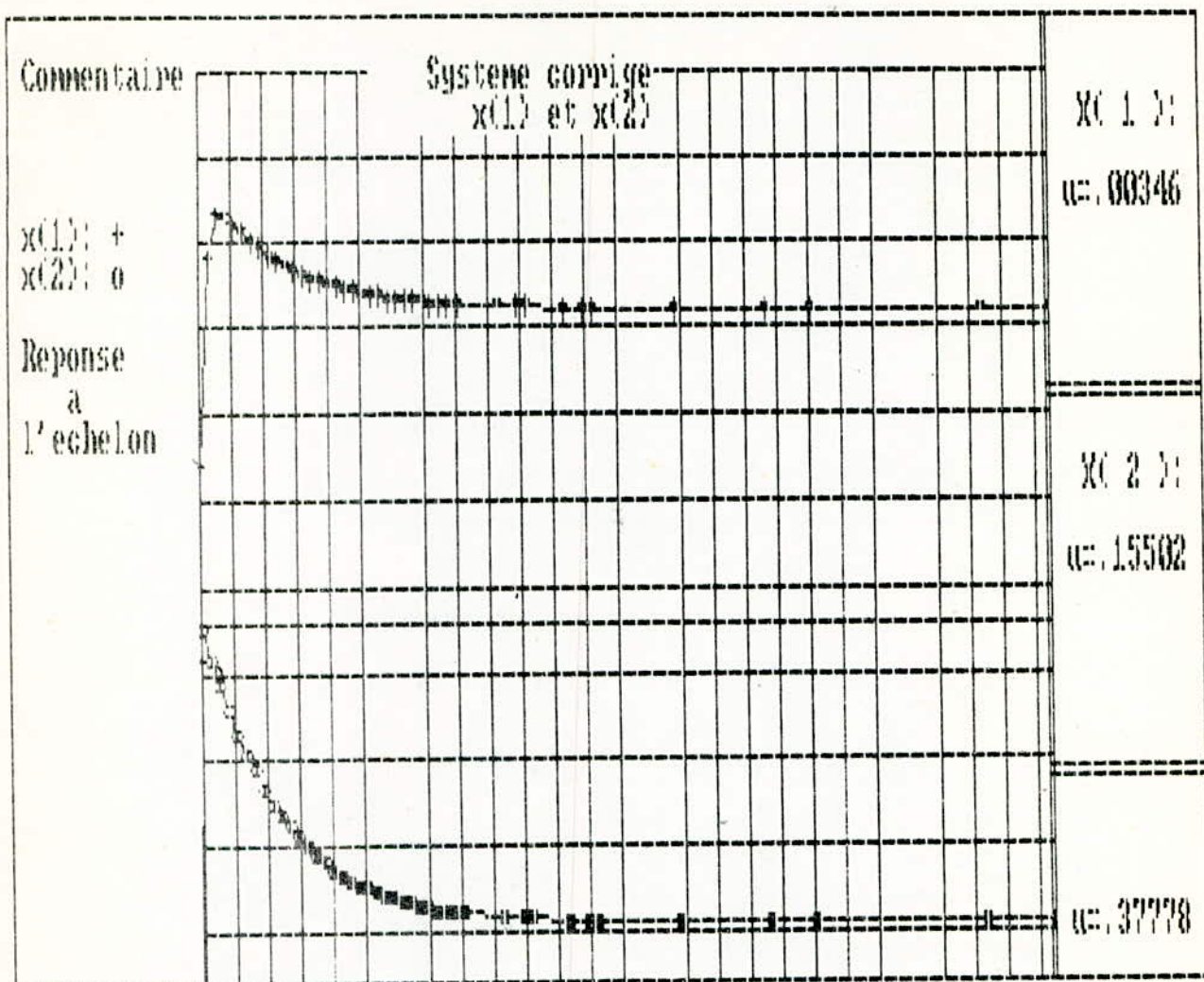
X(3) :

u = 02410

Reponse  
à  
l'échelon



u = 37778



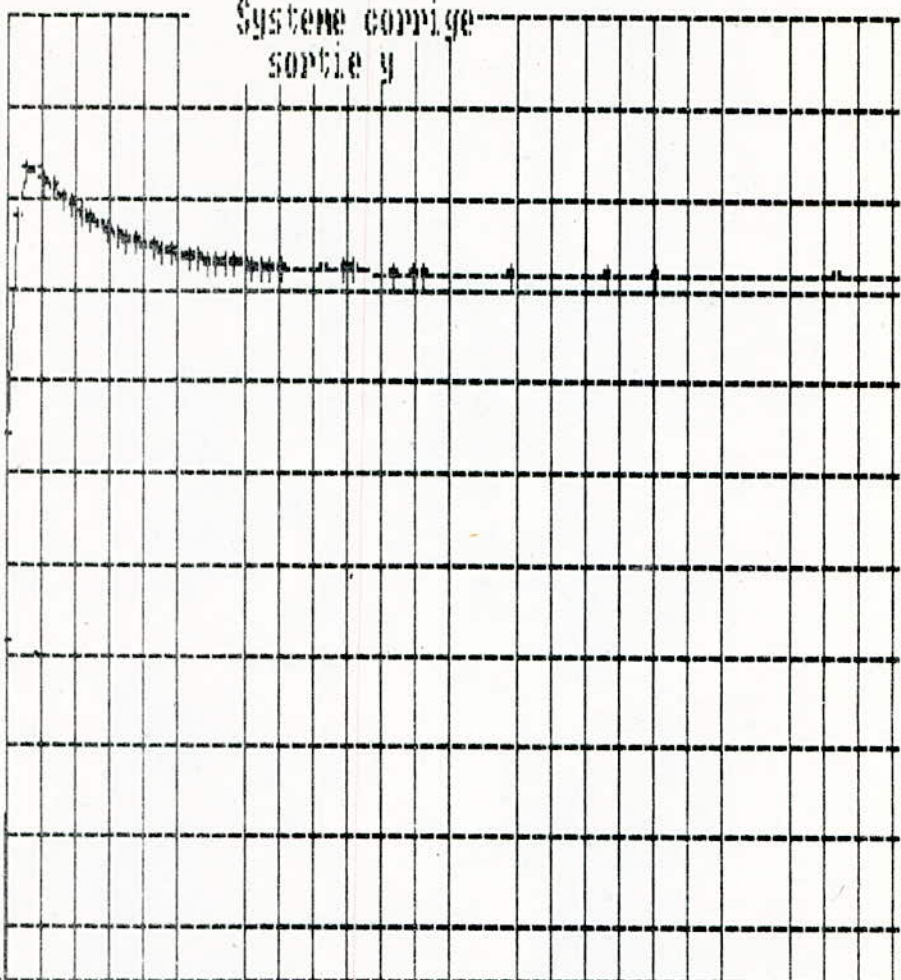
Commentaire

Systeme corrigé  
sortie y

X0 3 21

$\omega = 0.00346$

Reponse  
à  
l'echelon



$\omega = 3.7778$

## CONCLUSION

Le travail réalisé est un exemple parmi d'autres pour l'automatique.

Tout au long de ce travail, nous avons cherché à utiliser les méthodes et les algorithmes les plus performants afin d'obtenir d'assez bons résultats en <sup>un</sup> temps minime.

Nous avons pu avoir une idée sur les systèmes de CAO, leur mise en oeuvre et les nombreuses possibilités de conception dans le domaine automatique. Ceci nous a été bénéfique parce que nous avons pu réaliser un système ( même s'il n'a pas l'envergure de ceux cités au premier chapitre ) qui assiste l'utilisateur dans plusieurs tâches.

Le comportement du modèle mathématique, ou du système physique a été cerné par une étude automatique comprenant l'analyse, la simulation et la synthèse.

Ce dernier module calcule les lois de commande de ce modèle ou de ce système à l'aide du critère quadratique; critère assez performant.

Les résultats des exemples traités donnent une idée sur la rapidité des algorithmes utilisés et leur efficacité.

En outre, ce logiciel permet, grâce à son menu:

- la simplicité d'introduction du problème posé.
- la rapidité d'obtention des résultats correspondants.
- la représentation qualitative des résultats par des courbes.

Le problème que nous avons eu, était dans le langage du TURBO-BASIC.

Celui-ci n'est pas très puissant et est limité dans son graphisme.

Nous pouvons envisager d'améliorer la structure du logiciel et le développer en introduisant ,par exemple, la commande non-linéaire, nous pouvons prévoir une décomposition du système en deux sous systèmes: l'un lent , l'autre rapide.

La, découleront d'autres calculs tels que le calcul du Jacobien. Il y'aura donc linéarisation des équations non- lineaires.

## REFERENCES

- [ 1 ] M GACI  
La CAO en automatique
- [ 2 ] CADGE' 85  
Computer Aided Design in control and Engineering systems  
3 rd IFAC/ IFIP 1985
- [ 3 ] Manuel Turbo Basic  
Conçu et commercialisé par Borland International INCO  
ed P. S. I
- [ 4 ] A. FOSSARD  
Commande dessystèmes multidimensionnels  
ed Dunod 1972
- [ 5 ] Y. MONCEF  
Un algorithme général de résolution des équations  
différentielles  
CEA - N - 1719 Mai 1972
- [ 6 ] E. J. DAVISON  
Dept. of Electrical Engineering, University of  
California, Berkley, California U.S.A
- [ 7 ] A. BOUNEMRI  
Approximation des systèmes de grande dimension Analyse  
et commande  
Thèse de magister C. E. N 1986
- [ 8 ] A. BOUHAROUF . B. BENDJAIMA  
Application de la commande robuste au modèle nucléaire  
Projet de fin d'étude Juin 1985

[ 9 ] DJENNOUN

Contribution à la mise au point d'algorithmes d'analyse

et de commande: "Application aux réacteurs nucléaires".

Thèse de magister C. E. N. S. Alger Juin 1986



